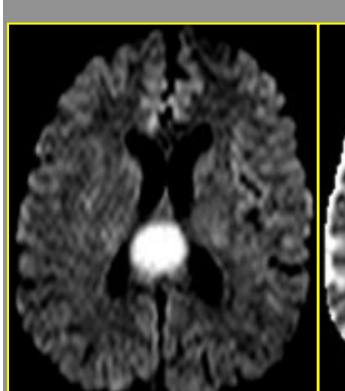
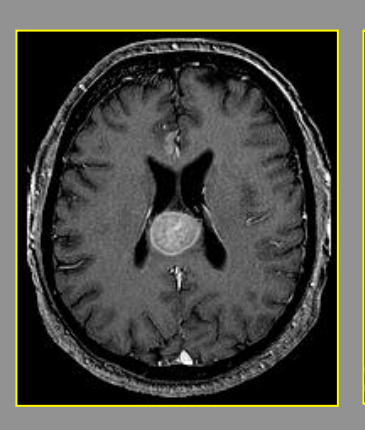
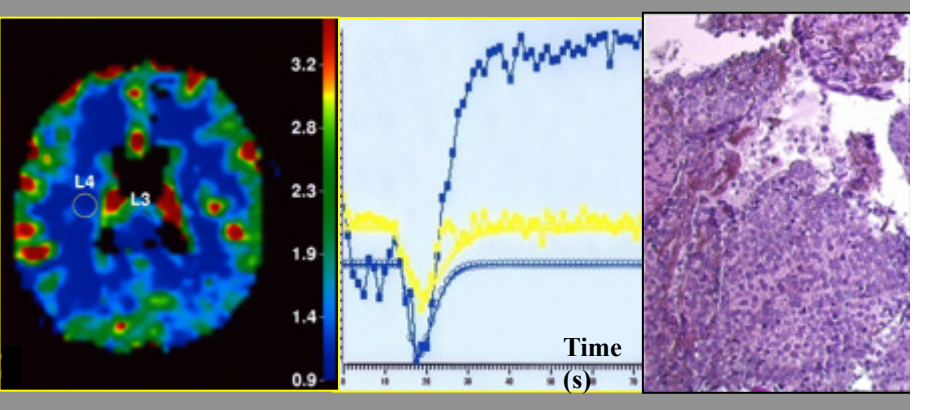
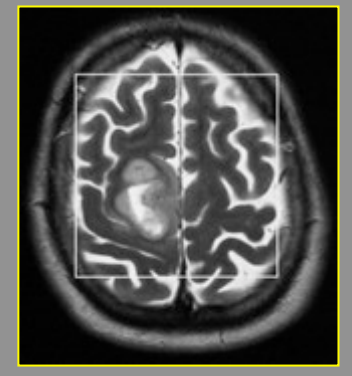
Imagerie multimodale des tumeurs cérébrales-SFRRA

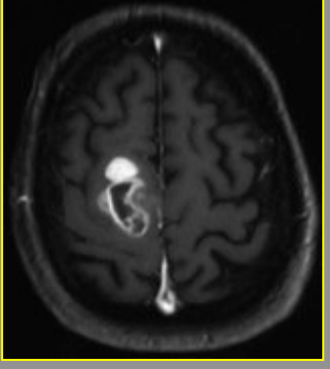


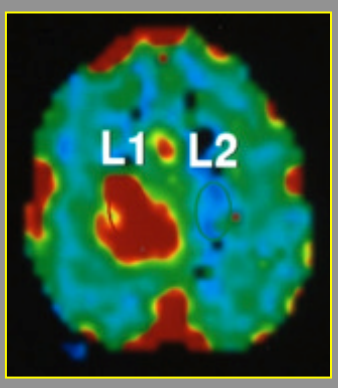


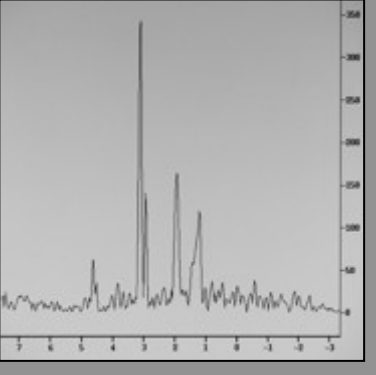


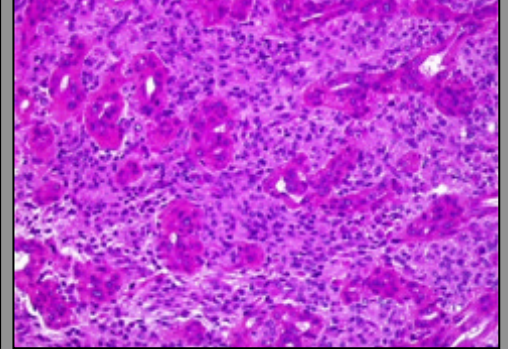












Samedi 24 mars 2012

Pr. François Cotton Dr Jean Amédée Roch

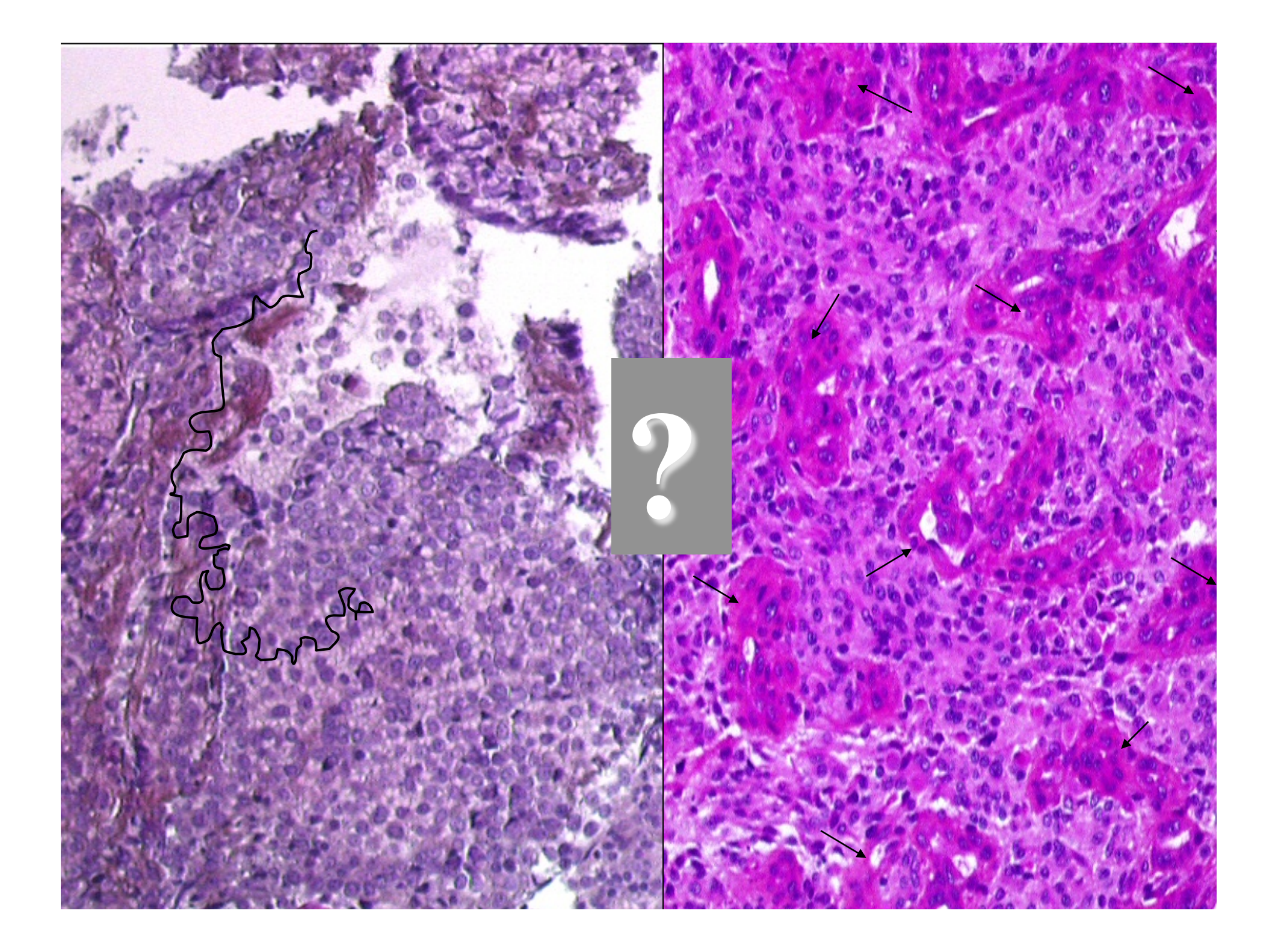
Service d'imagerie, CHLS

Laboratoire d' Anatomie, UFR Laennec

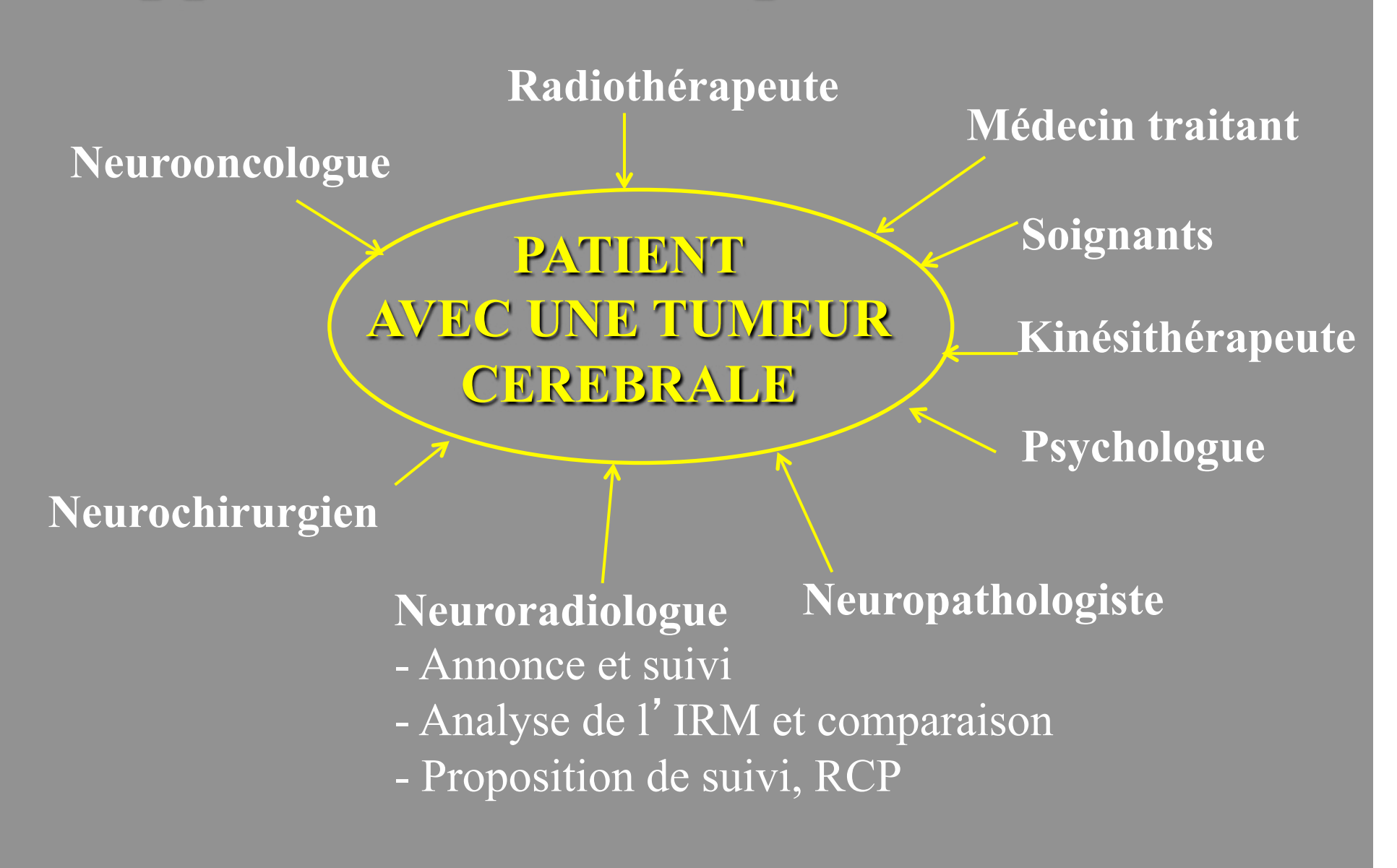
CREATIS

OBJECTIFS PEDAGOGIQUES

- 1- Connaître le protocole d'acquisition de l'IRM multimodale pour explorer une tumeur du SNC.
- 2- Connaître l'évolution naturelle des gliomes de bas grade.
- 3- Connaître la caractérisation en IRM multimodale des principales lésions prenant le contraste
- 5- Connaitre les aspects en perfusion de l'astrocytome pilocytique et le profil métabolique de la gliomatose cérébrale.

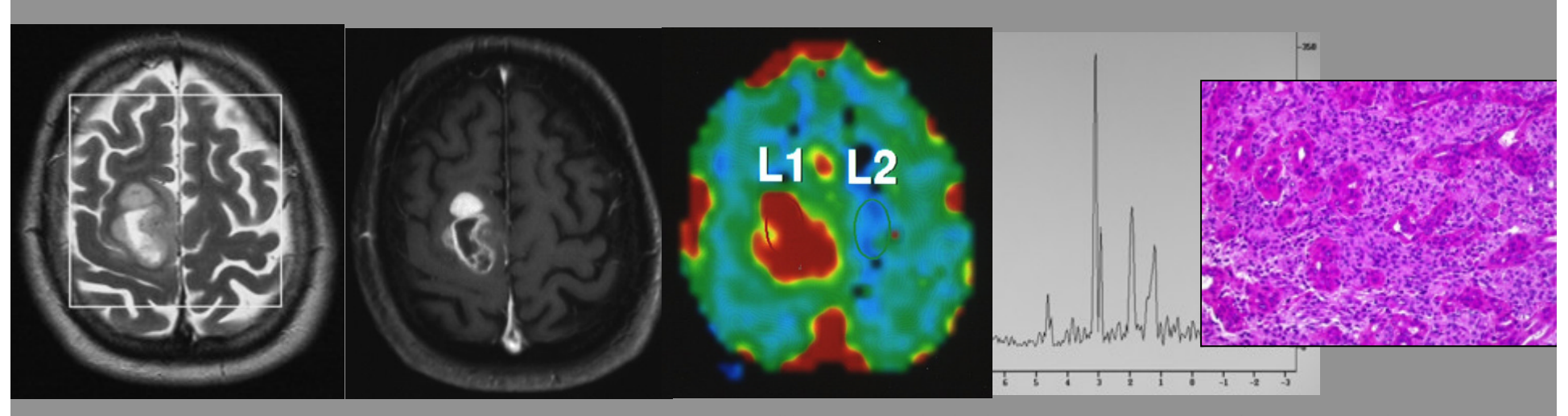


Approche multidisciplinaire, RCP ++

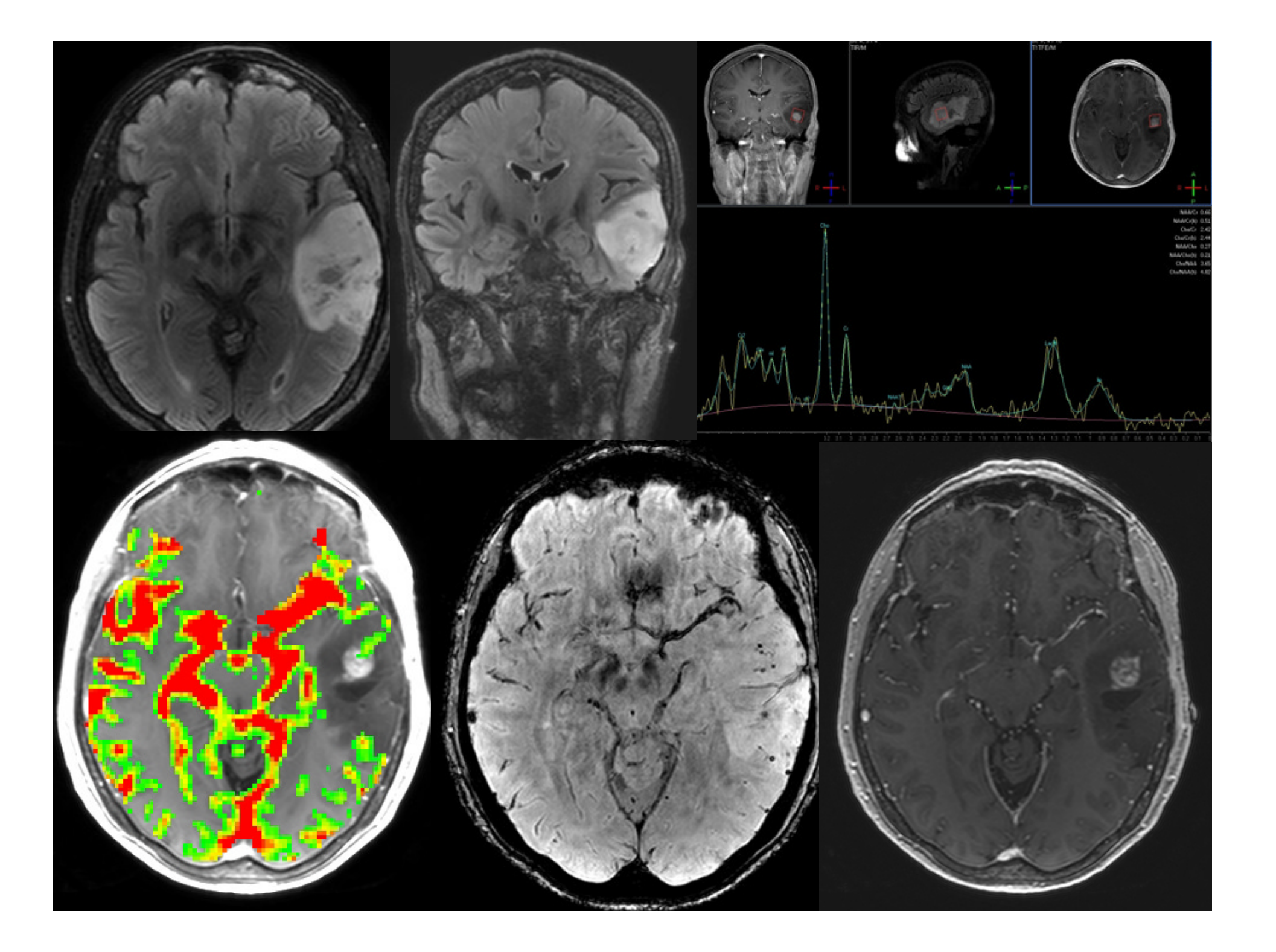


Protocole d'acquisition

- T2 ou FLAIR 2D ou 3D (3 Tesla ++) [4-5mn]
- Diffusion [1mn]
- T2* ou imagerie de susceptibilité magnétique [4-5 mn]
- Perfusion (avant le T1, double pompe) [1mn]
- T1 après injection de chélates de gadolinium (2D axial ou 3D ++) [4-5mn]
- Spectroscopie proton monovoxel dans la lésion [2-3mn]



Durée d'acquisition: moins de 20 minutes



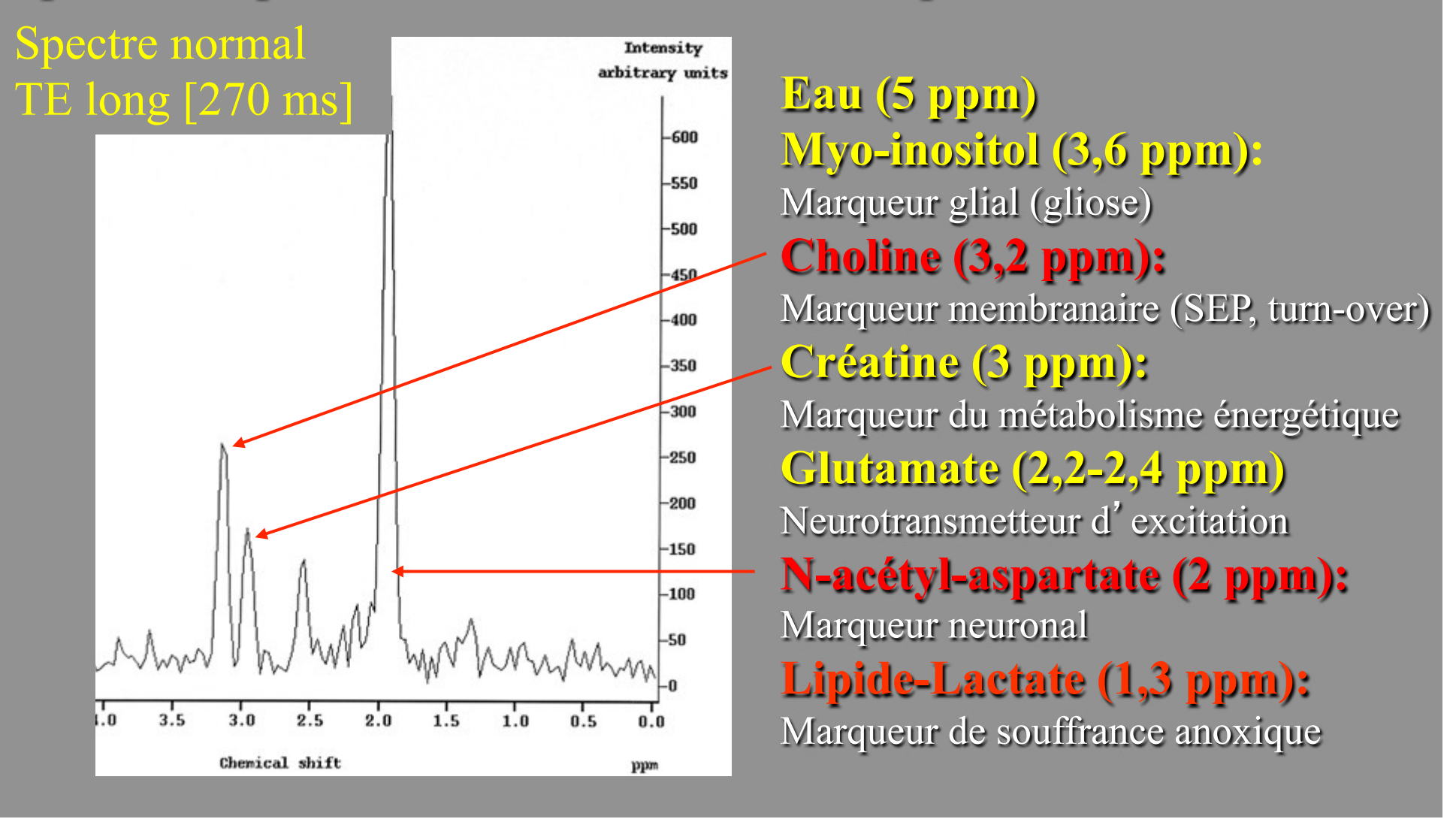
I TECHNIQUE (spectroscopie, perfusion)

II APPLICATIONS en neuro-oncologie

- 1- Caractérisation tissulaire et histoire naturelle des gliomes
- 2- Diagnostic différentiel entre gliomes de haut grade et lésions présentant une rupture de la BHE
- ⇒ Métastases
- \Rightarrow Lymphomes
- 3- Ciblage, intérêt potentiel de la perfusion
- 4- Suivi
- Nécrose versus abcès
- Récidive versus radionécrose
- 5- Cas particuliers
- Astrocytome pilocytique vs hémangioblastome
- Gliomatose cérébrale

IA- Spectroscopie proton

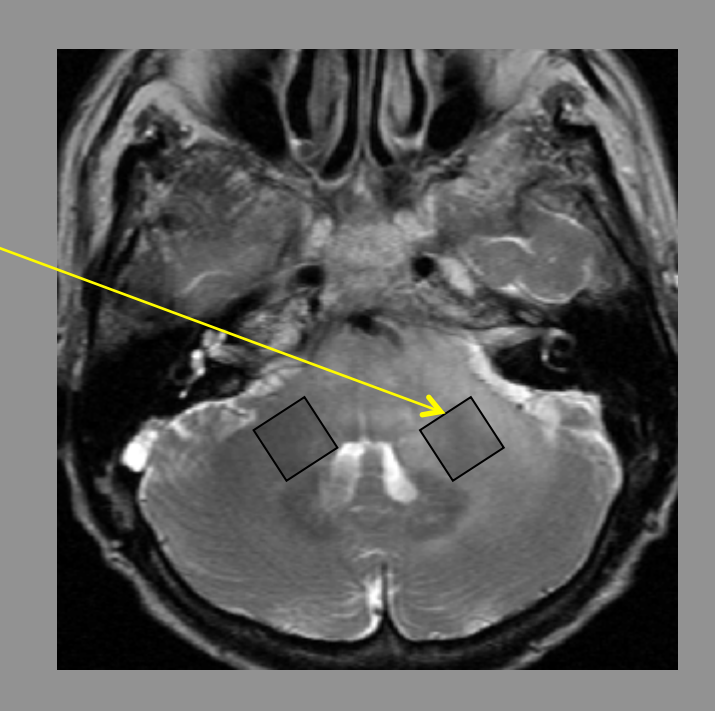
IRM « anatomique »: structure des tissus en fonction de H20 Spectroscopie: structure des molécules après élimination d' H20



ACQUISITION

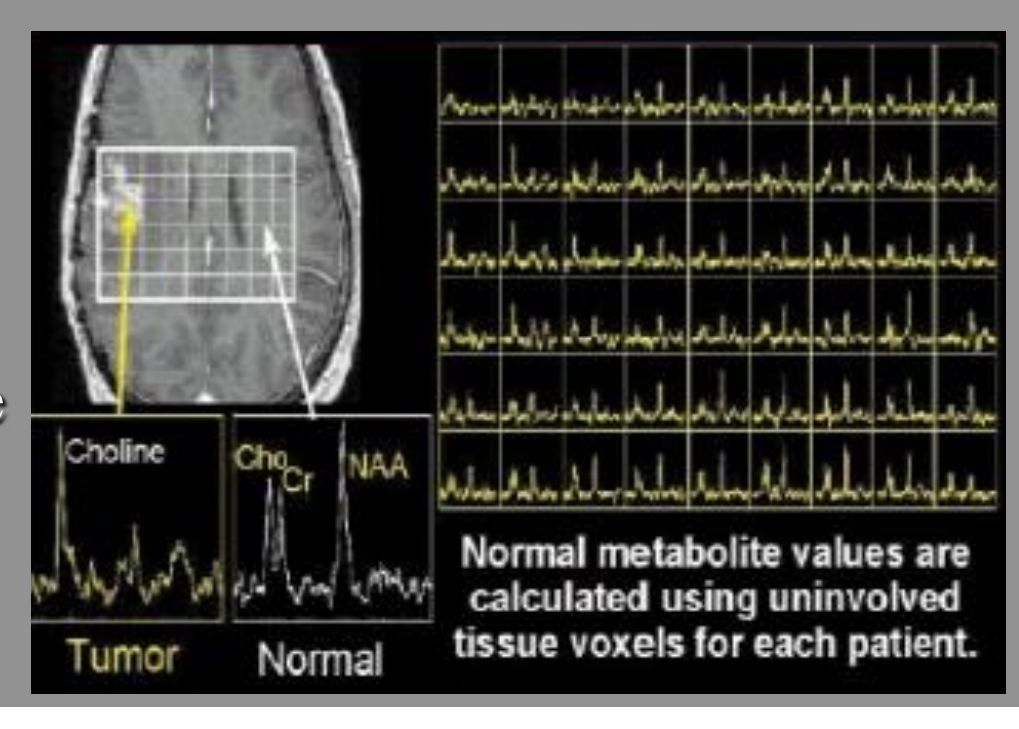
Monovoxel, à TE court

- plus de métabolites explorés
- couverture réduite (en général supérieure à 10*10*10 mm)
- Monovoxel controlatéral



Multivoxel, mono ou multicoupes et imagerie spectroscopique:

- moins de métabolites explorés (TE long)
- couverture plus large de la coupe ou d'un volume

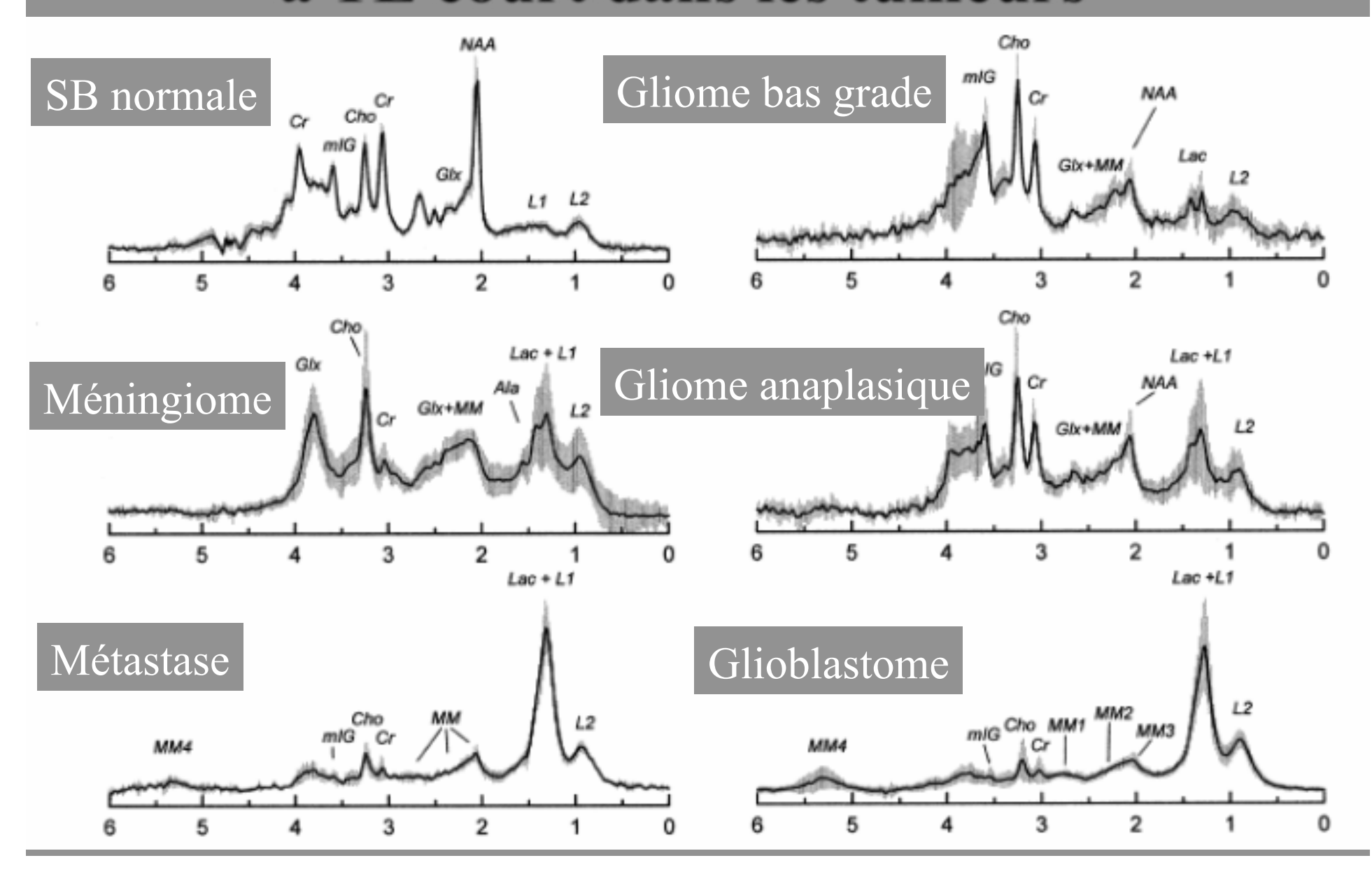


Principaux métabolites (ppm)

Métabolites	Pic (ppm)
Eau	5
NAcétyl-aspartate (NAA)	2
Créatine	3
Choline (Cho)	3.2
Glutamate-	2.2 à 2.4
Glutamine (Glx) *	
Myo-inositol (mI)	3.6
Lipides	0.9-1.3
Lactate	1.33
Acide aminés	Mutiplets à 0,9-1,5
(alanine, aspartate, valine, leucine)	Alanine: 1,48 ppm

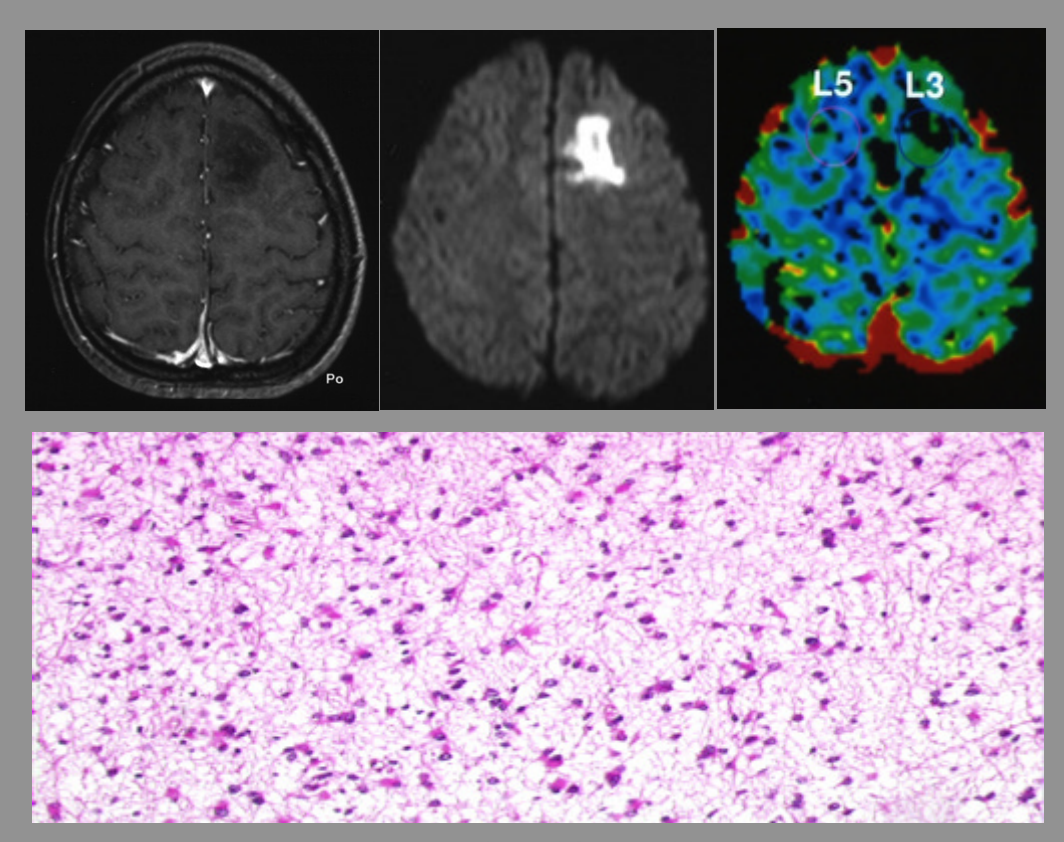
^{*} Les métabolites non surlignés en gras sont uniquement visibles en TE court

Quelques exemples de profils métaboliques à TE court dans les tumeurs

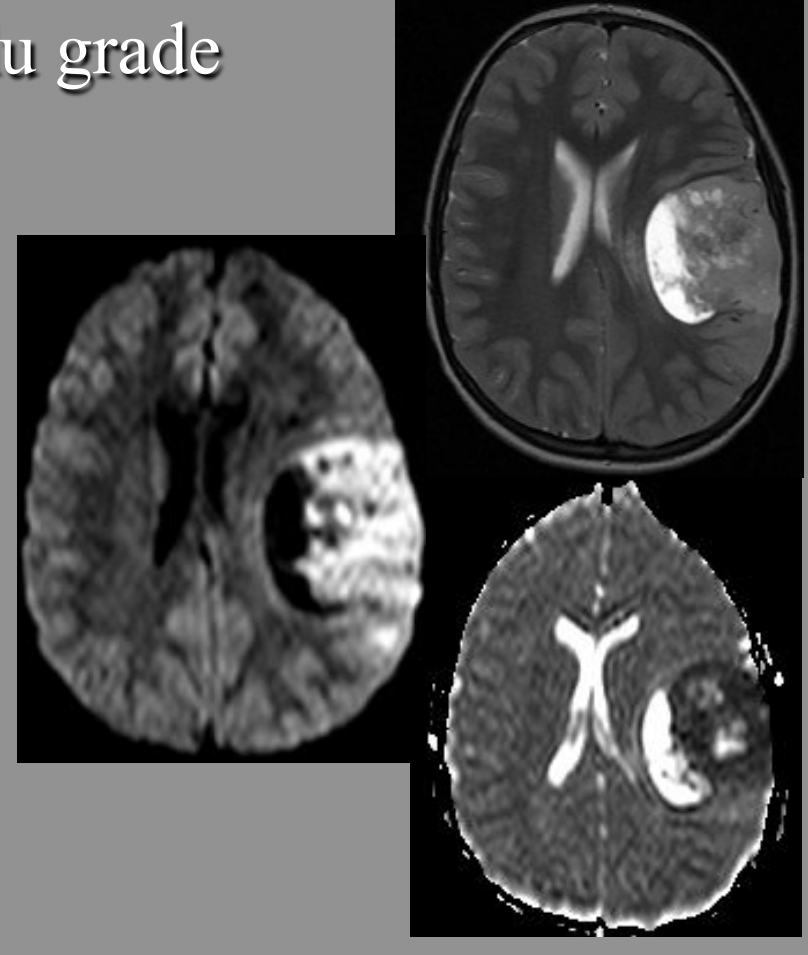


IB- DIFFUSION

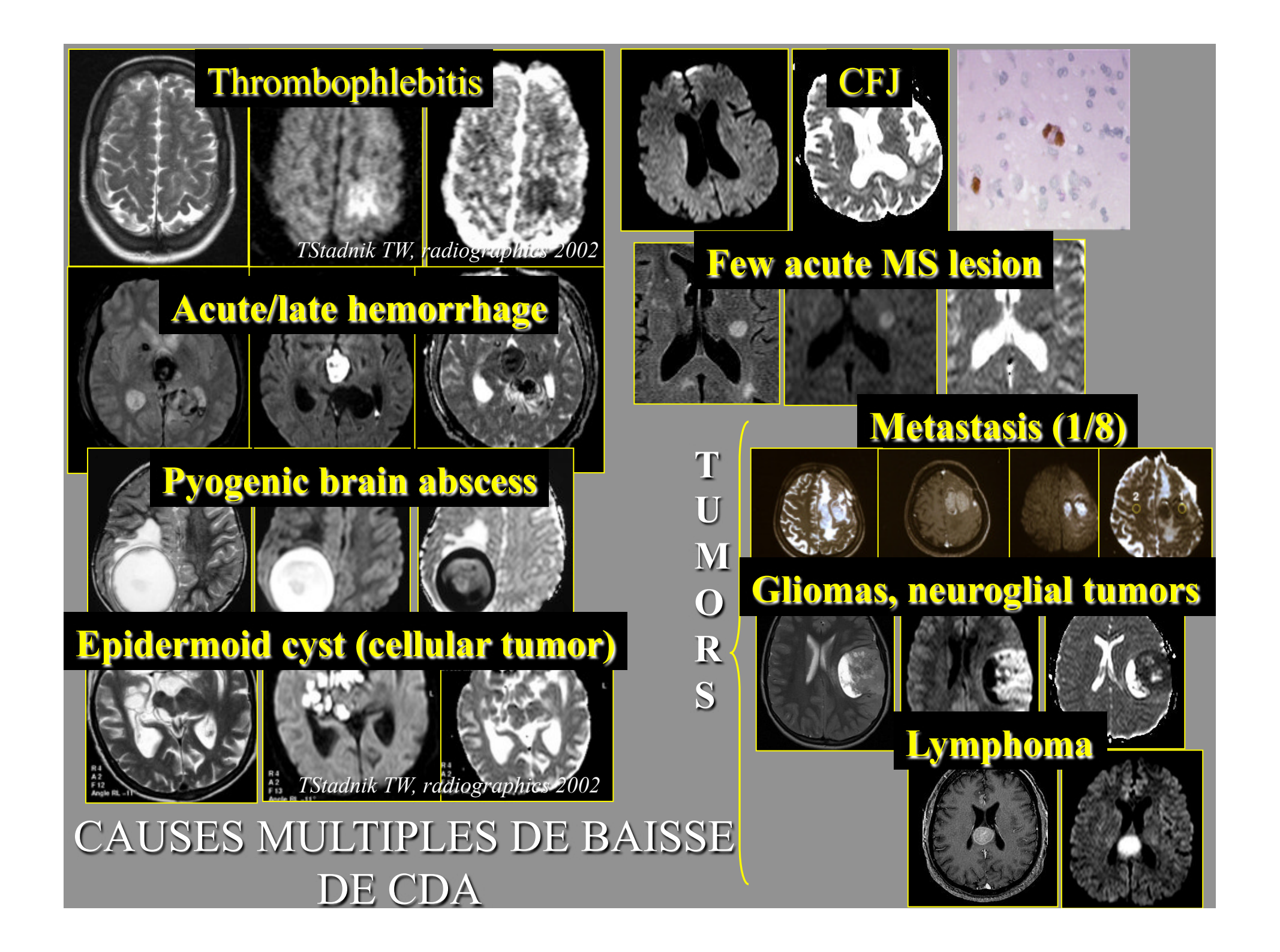
Hypersignal en diffusion avec \u2214 du CDA =marqueur de cellularité et non du grade



Oligodendrogliome de bas grade



Tumeur neurogliale maligne



IC-PERFUSION

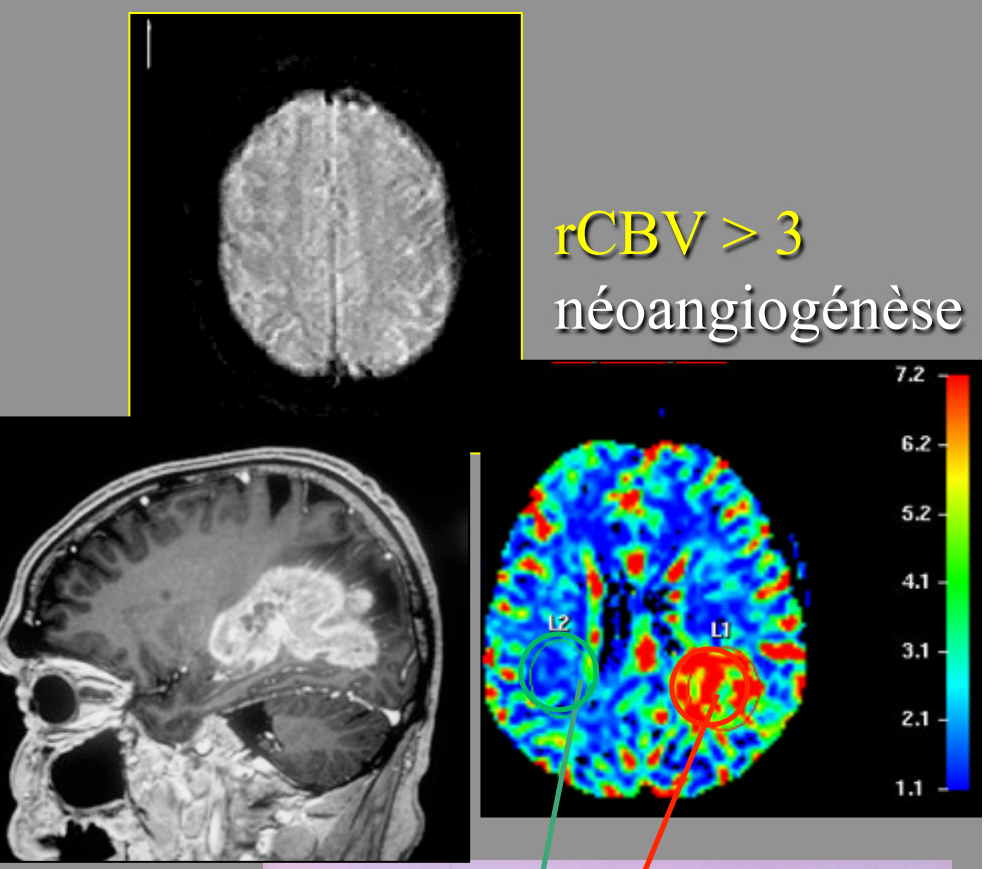
Acquisition

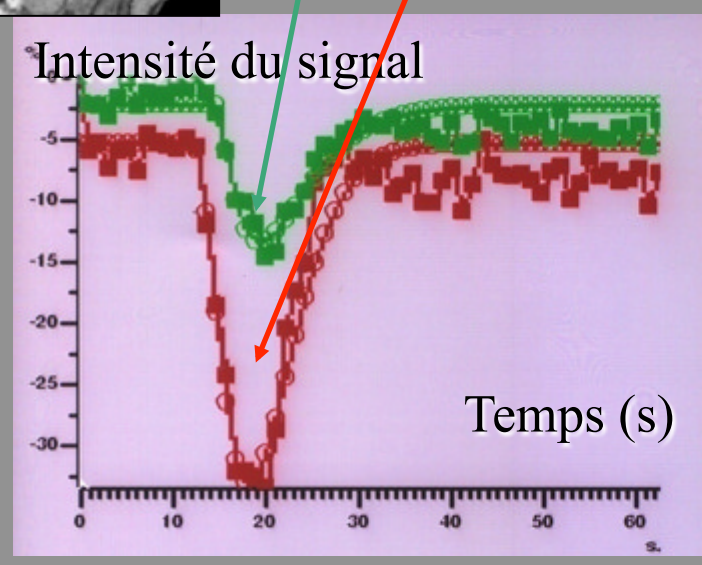
- Antenne SENSE Head
- T2*
- Rapidité: résolution temporelle
- 1 seconde, durée: 1 mn
- 24 coupes; matrice 94*128

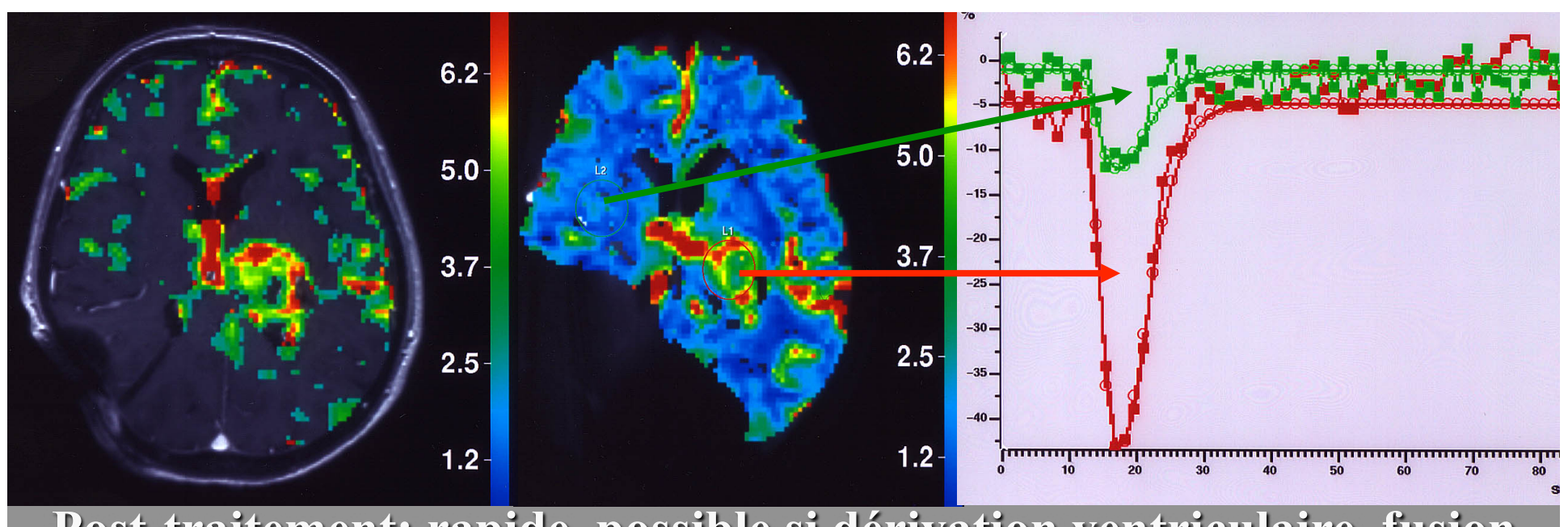
Injection: débit de 6 ml/s 0,2 ml/kg, PDC de haute relaxivité T2 Rinçage avec 20 cc de sérum phy

Post-traitement:

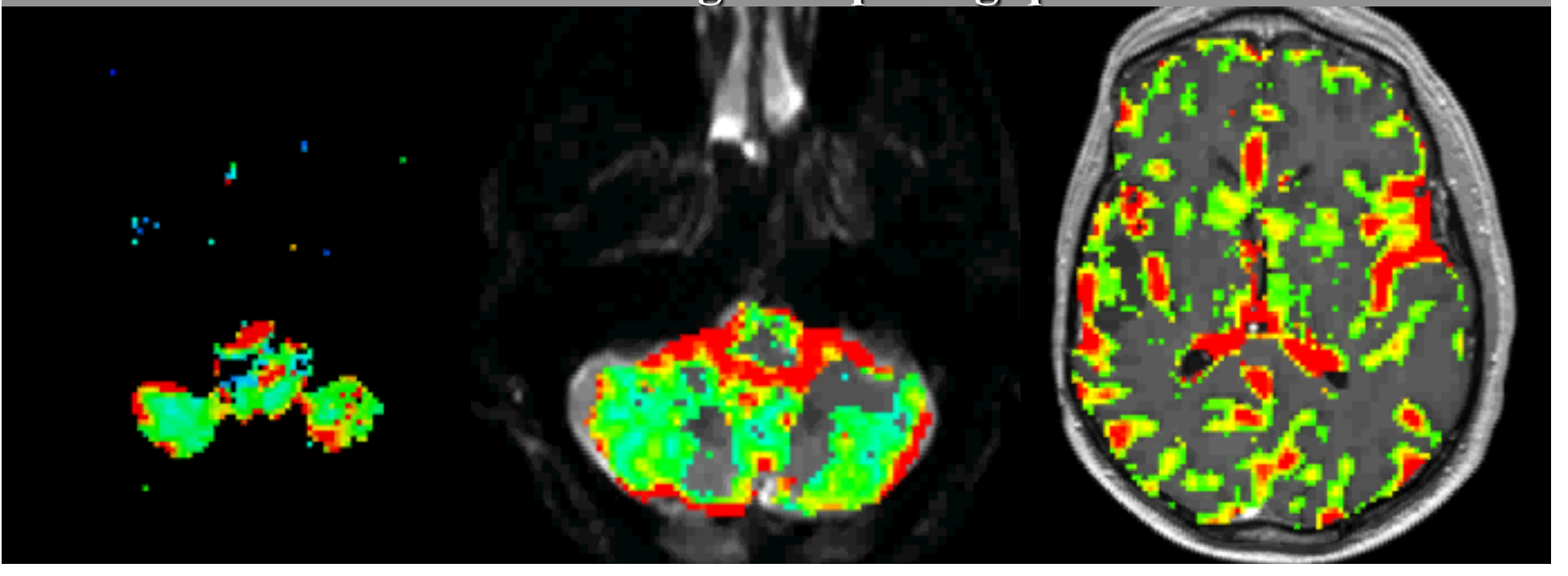
- rCBV versus SB controlatérale (tumeur)
- Aspect de la courbe
- TTP, TO, MTT, CBF (AVC)

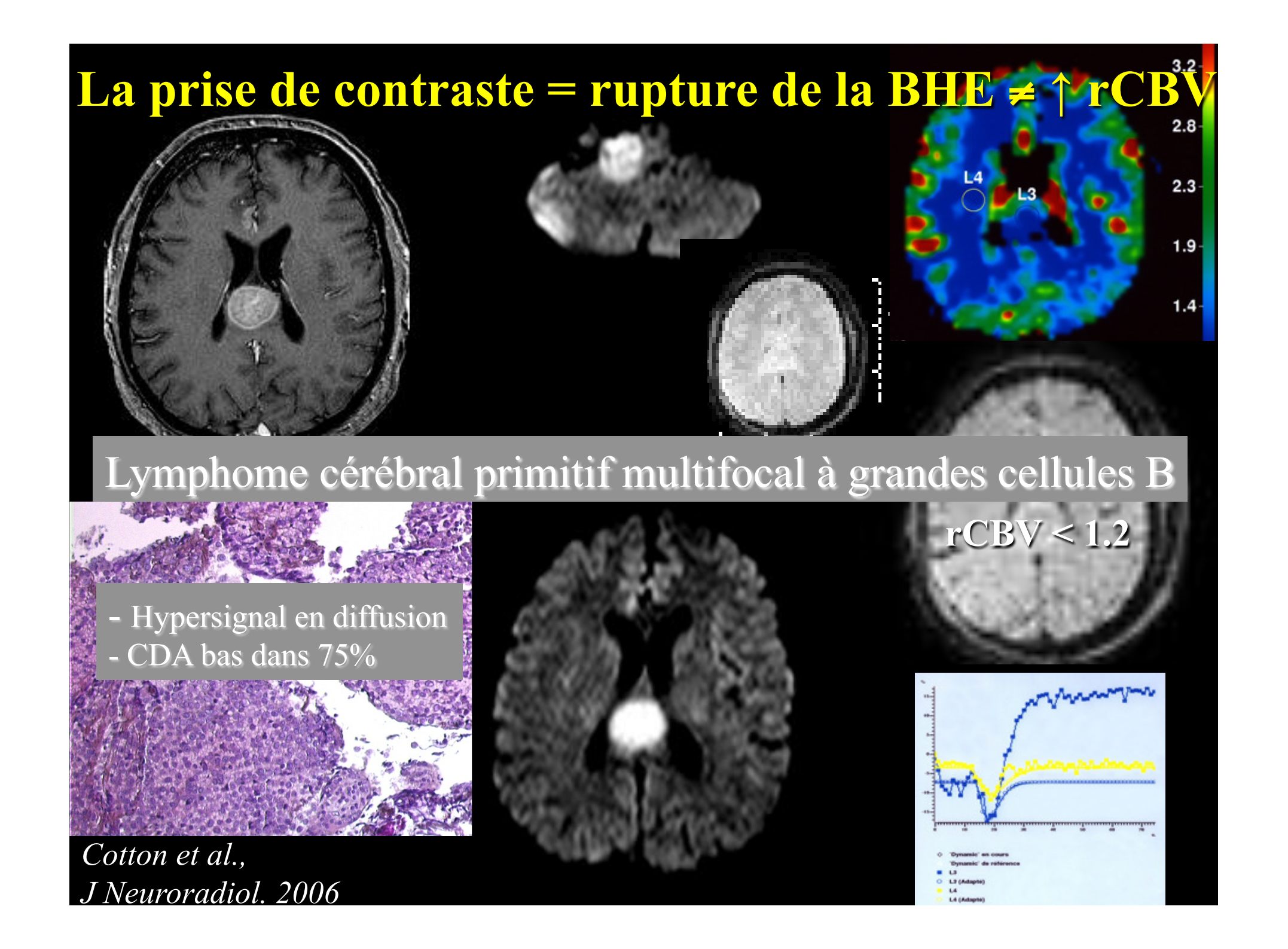






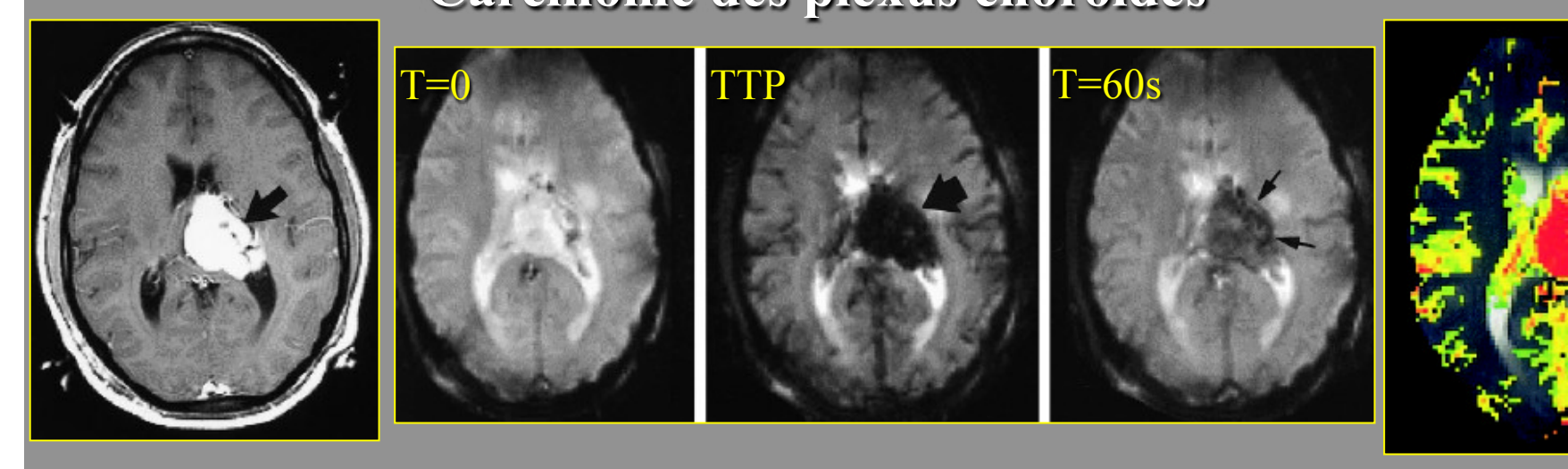
Post-traitement: rapide, possible si dérivation ventriculaire, fusion avec l'image morphologique



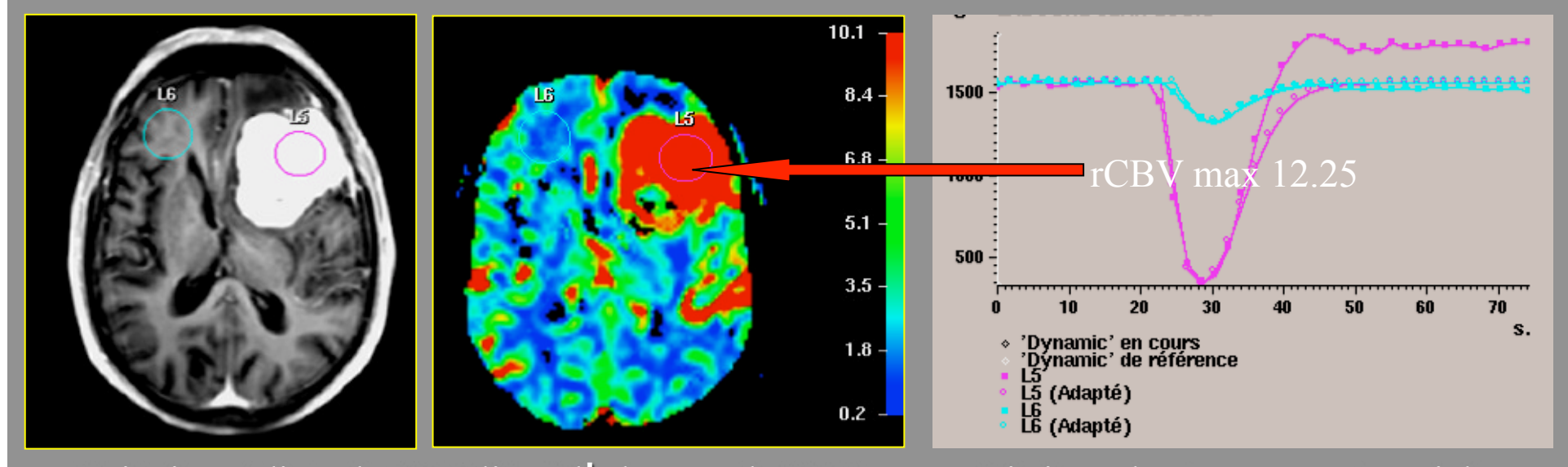


L'augmentation du rCBV ≠ Malignité

Carcinome des plexus choroïdes



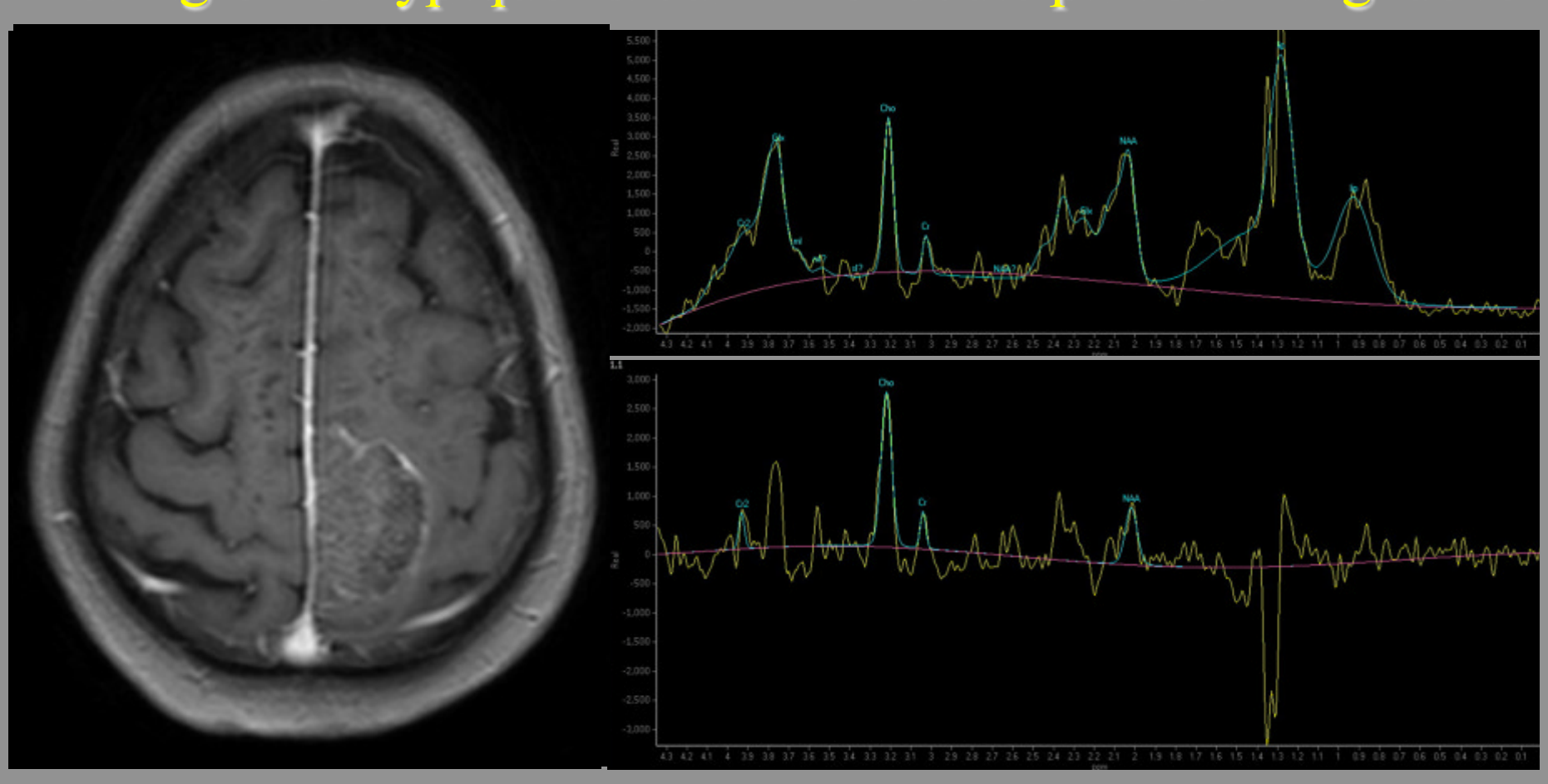
Méningiome



Fuite immédiate du PDC liée à l'absence de BHE, caractéristique des tumeurs extraaxiales

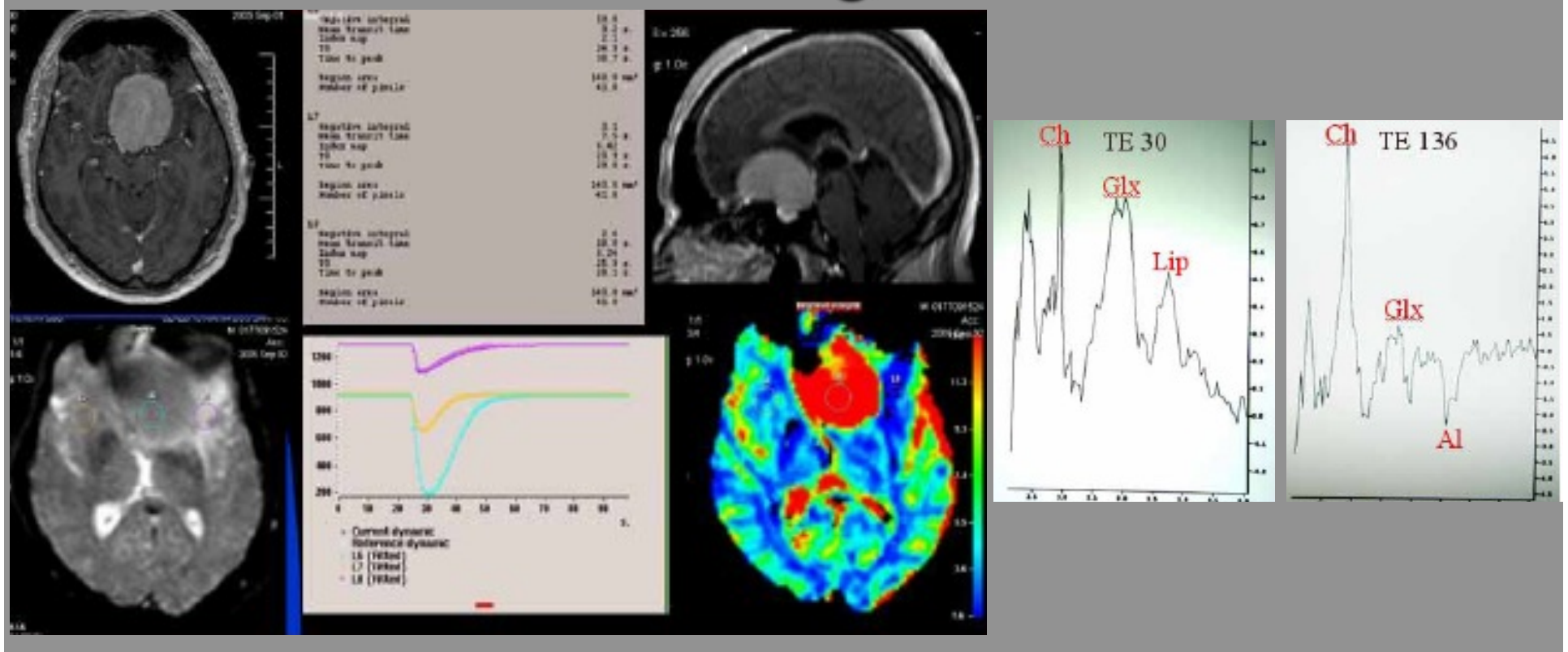
Patiente de 57 ans présentant un déficit progressif du membre inférieur droit.

Méningiome atypique refoulant le lobule paracentral gauche



Pic d'alanine (1.48 ppm)

Comment différencier les métastases durales des méningiomes



- **Perfusion:** rCBV plus bas (2-5) dans les métastases durales / méningiomes (8-10)
- Spectroscopie: pic d'alanine à 1,48 ppm dans les méningiomes; volumineux pic de lipide dans les métastases

II- APPLICATIONS EN NEUROONCOLOGIE

1- Caractérisation tissulaire des gliomes

Caractérisation des gliomes

Les tumeurs primitives du SNC (i: 10/100000) représente 2% de l'ensemble des cancers de l'adulte.

Les gliomes représentent 30% des tumeurs primitives du cerveau

	Astrocytome	Oligodendroglio	me Mixte	
Grade I	Astrocytome pilocytique			> 20 ans
Grade II	Astrocytome	Oligodendrogliome	Oligoastrocytome	10-15 ans
Grade III	Astrocytome anaplasique	Oligodendrogliome anaplasique	Oligoastrocytome anaplasique	3-4 ans
Grade IV	Glioblastome			< 1 an

Classification des gliomes (OMS)

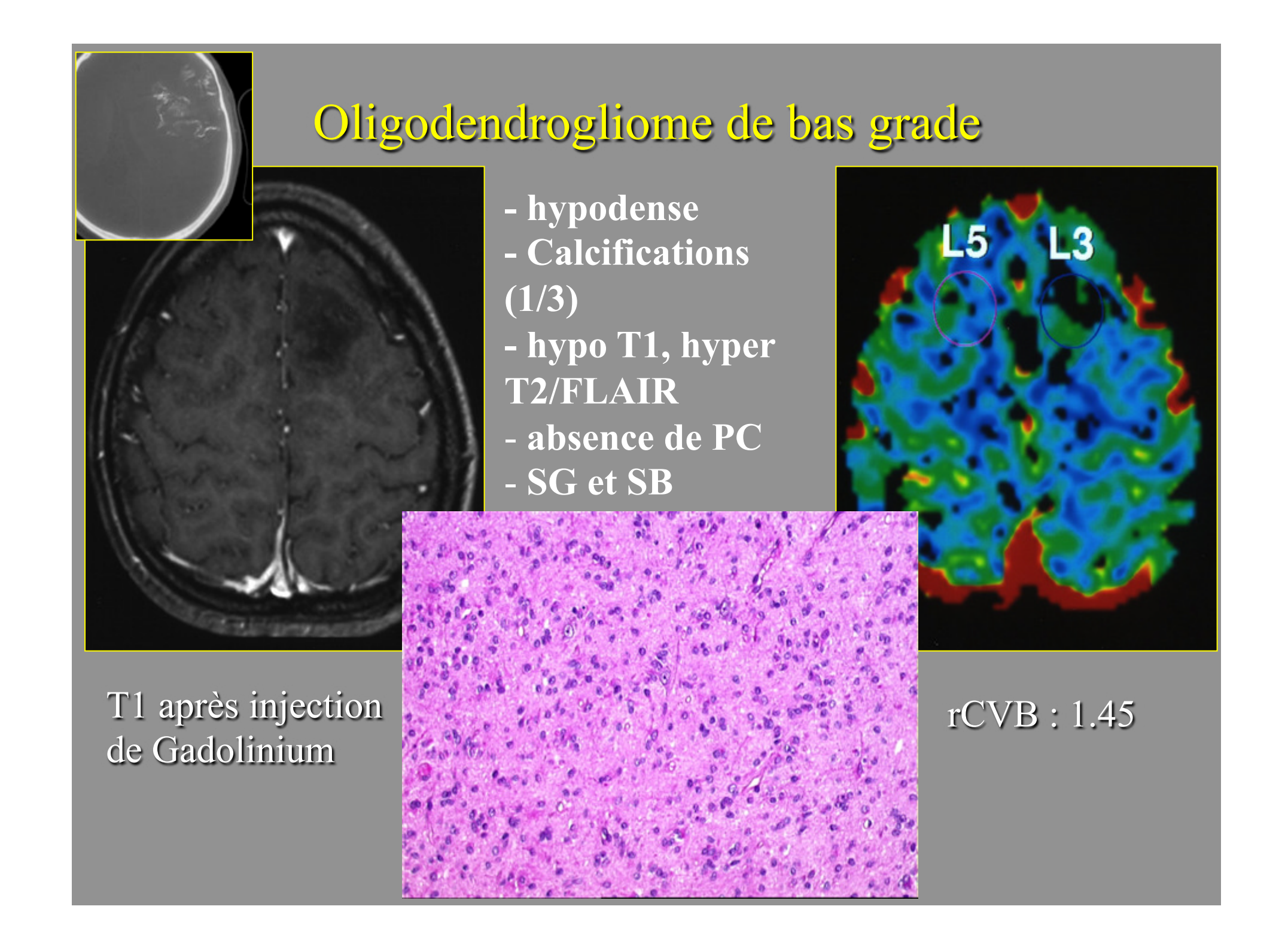
Classification « moderne » des gliomes

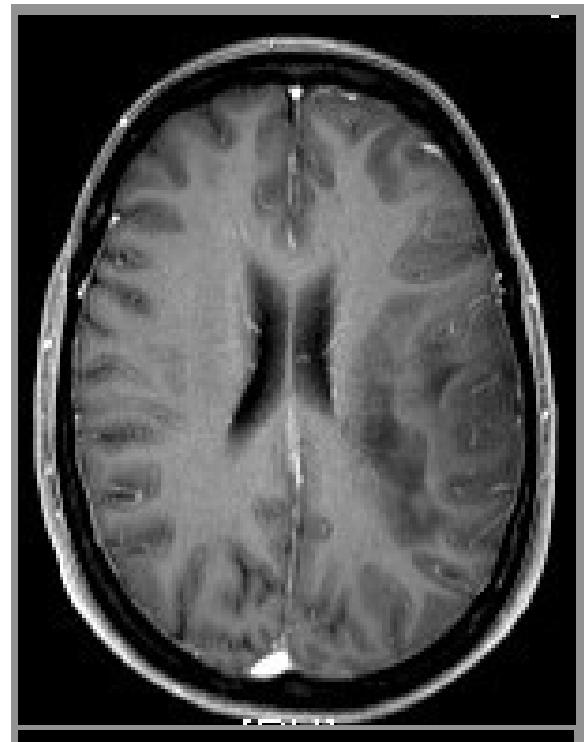
Classification de Daumas-Duport (anapath +IRM)

Oligodendrogiomes et oligoastrocytomes de grade A : Absence d'hyperplasies endothéliales et de prise de contraste

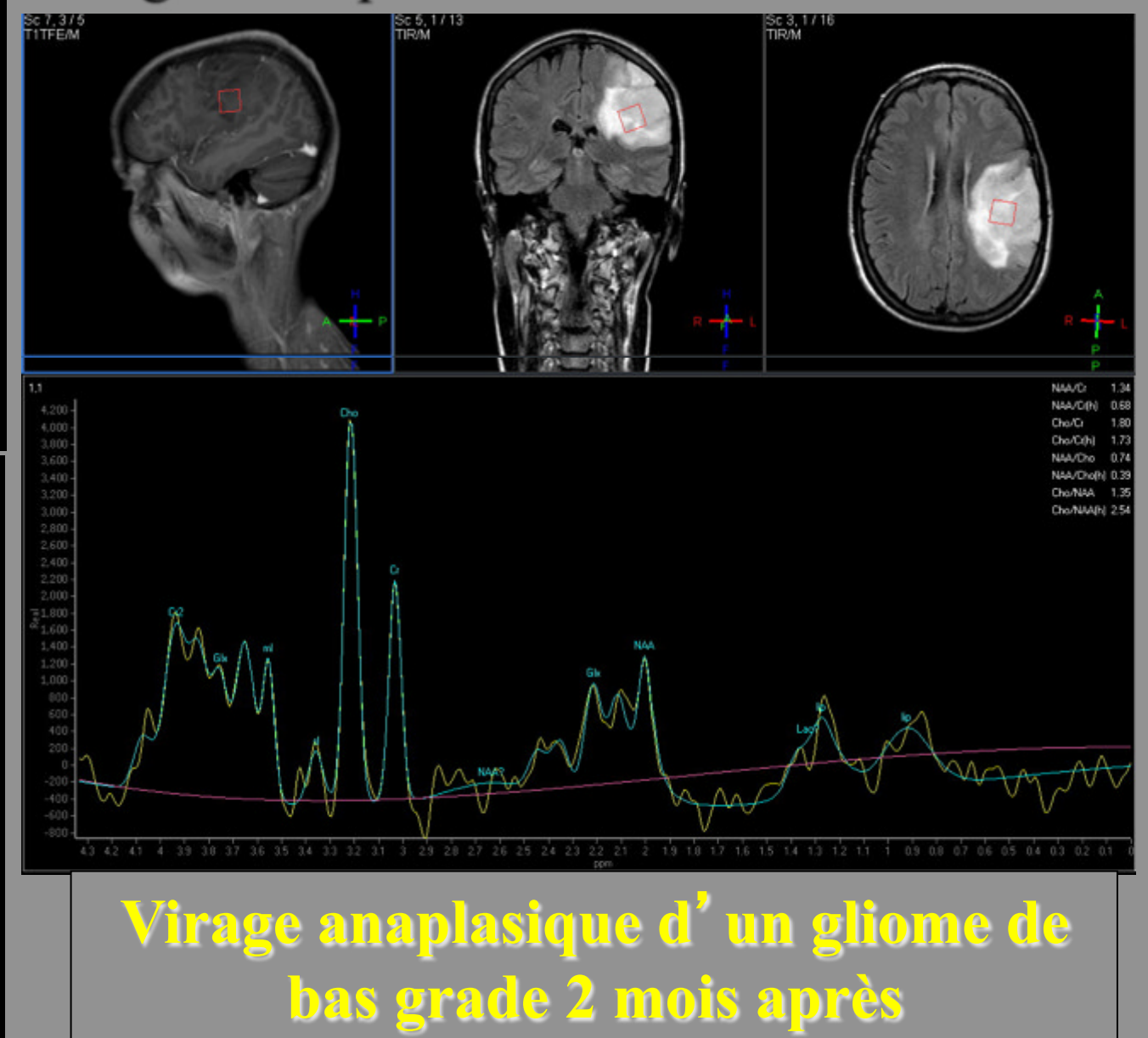
Oligodendrogiomes et oligoastrocytomes de grade B: Hyperplasies et/ou prise de contraste

Glioblastomes

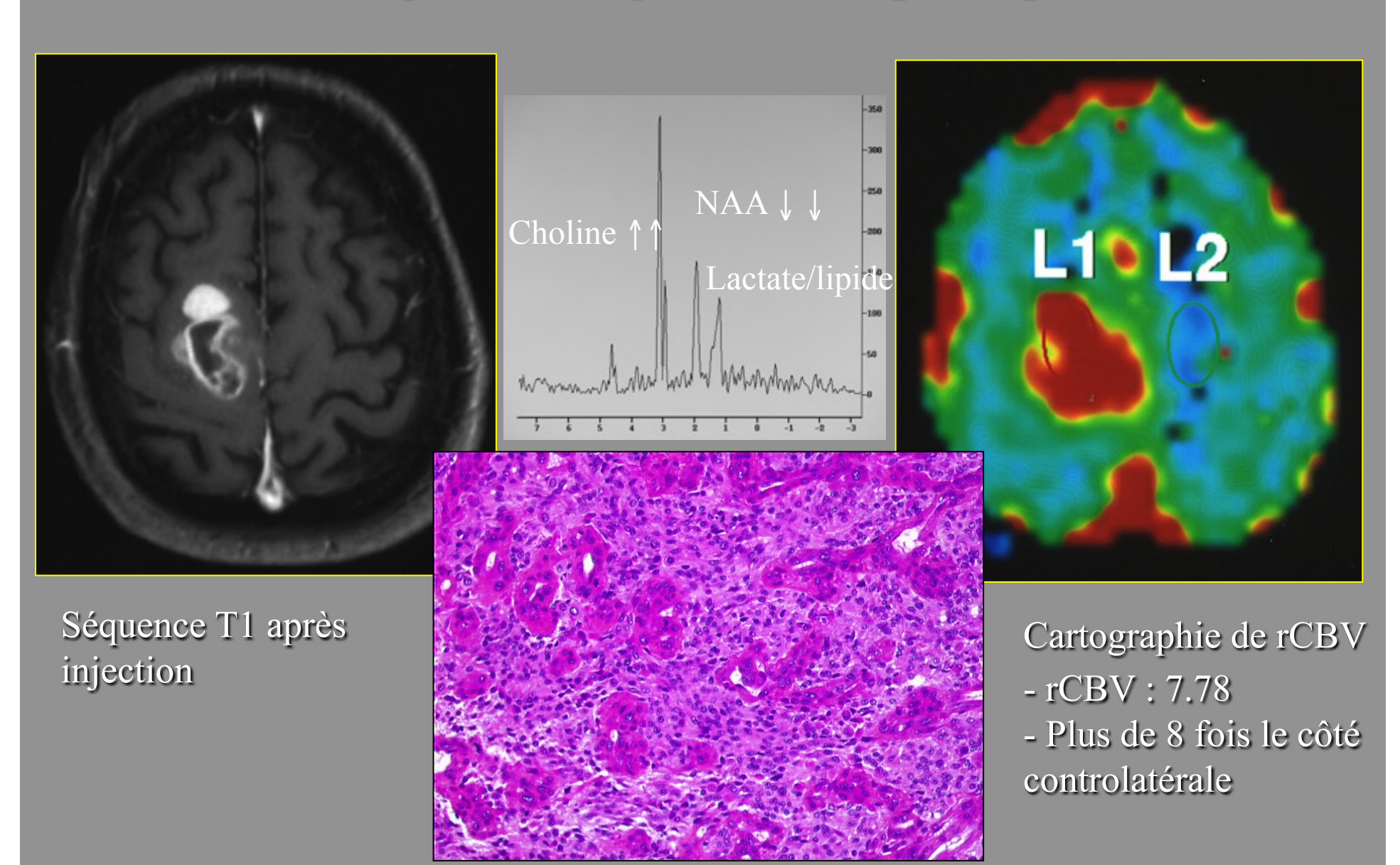




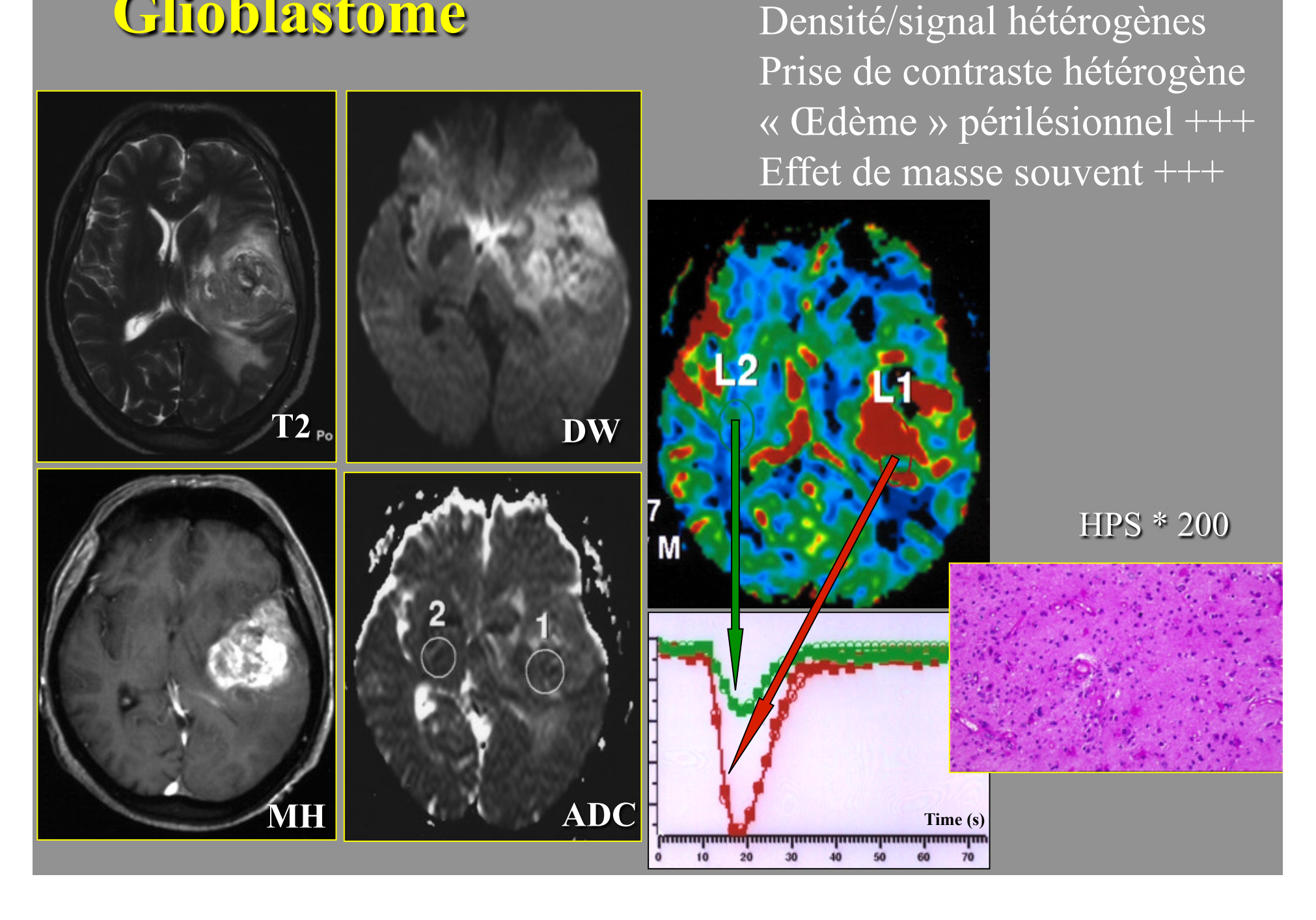
Patiente de 41 ans suivi pour un gliome de bas grade depuis 2 ans. Nouveau contrôle.



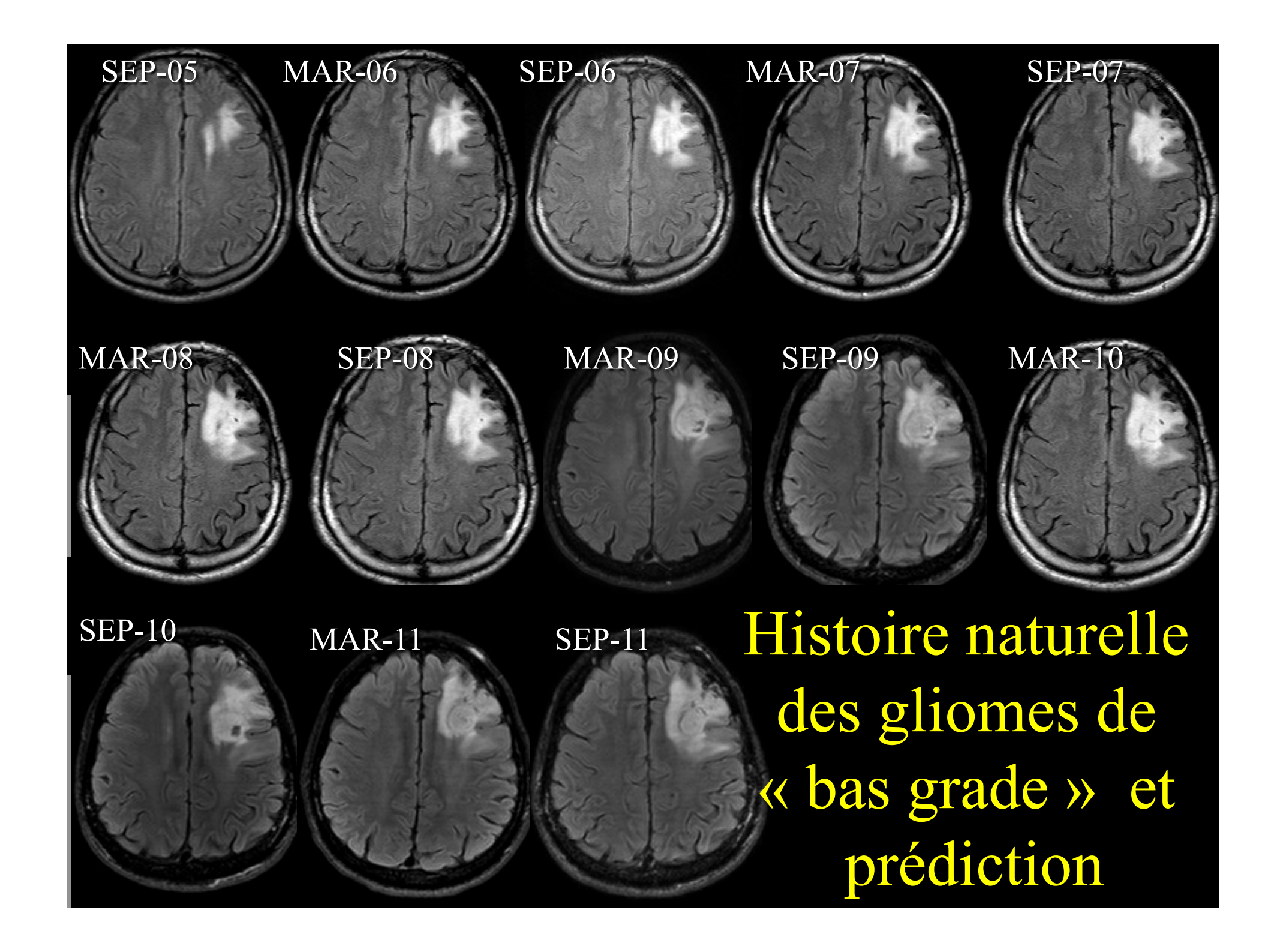
Oligodendrogliome anaplasique



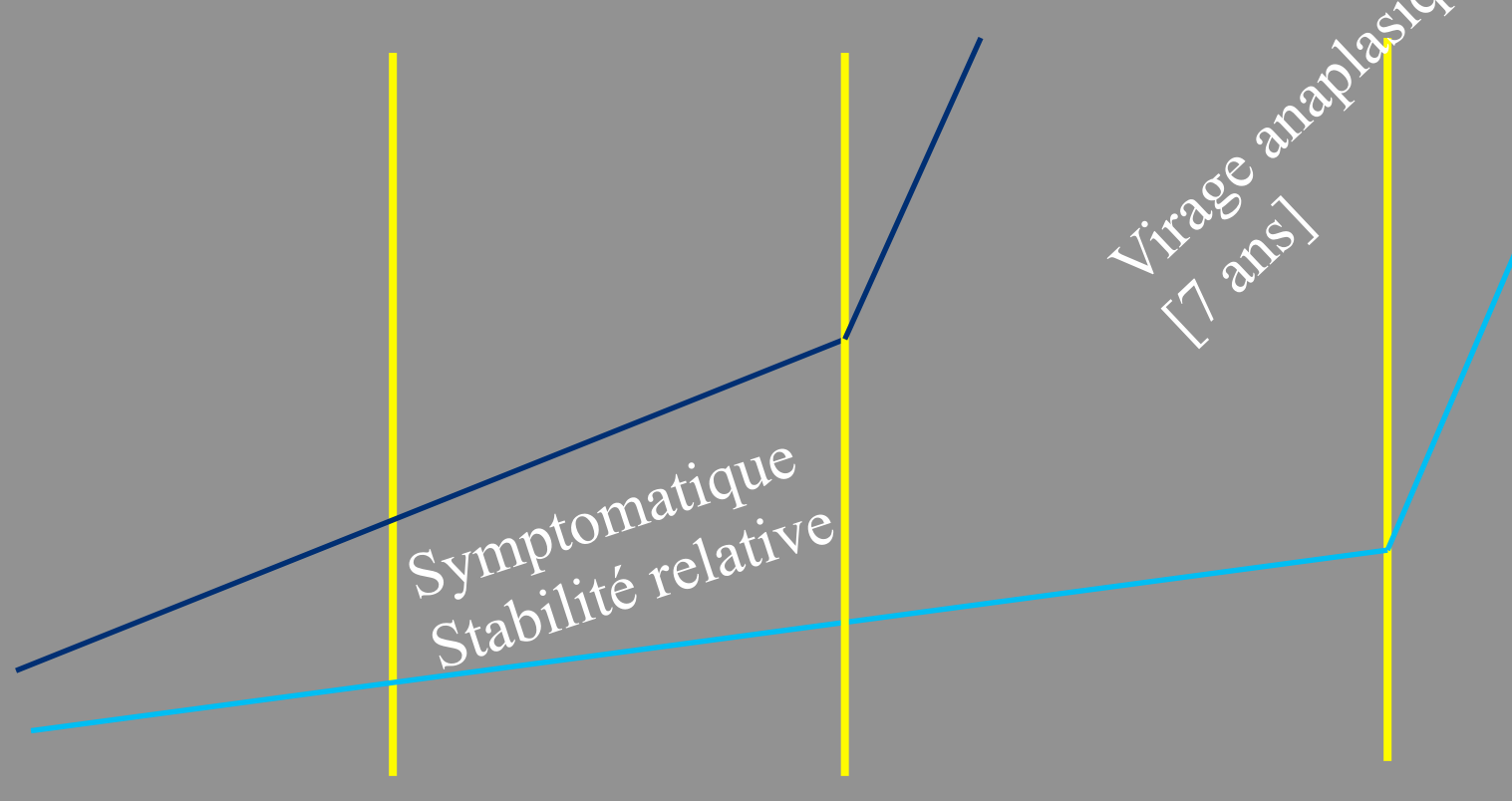
Glioblastome



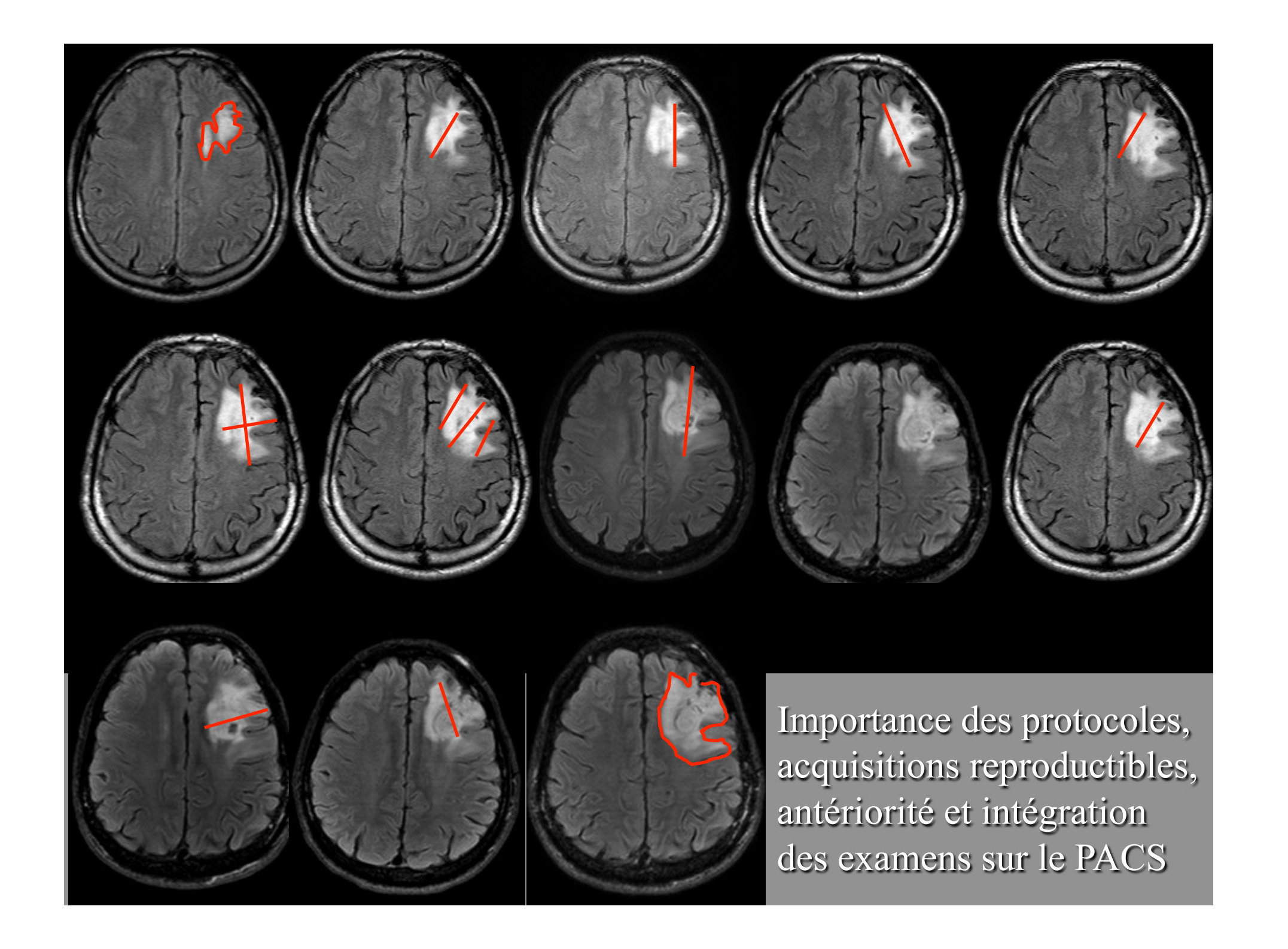
Lésion mal limitée



Croissance tumorale

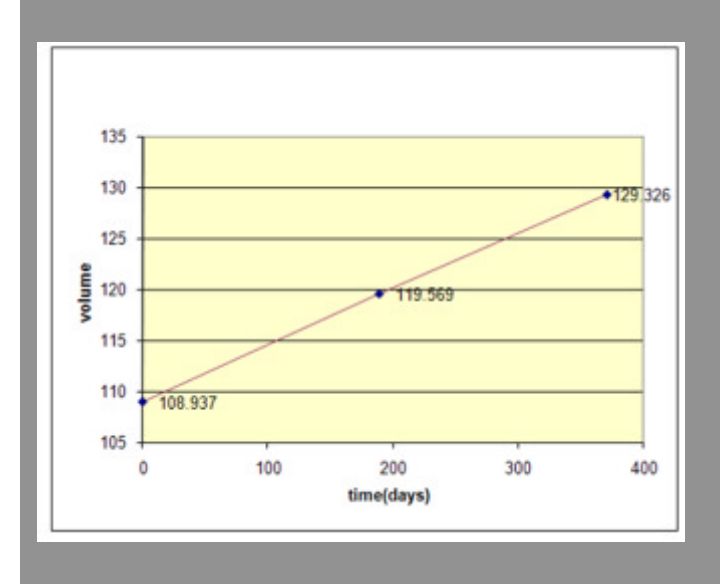


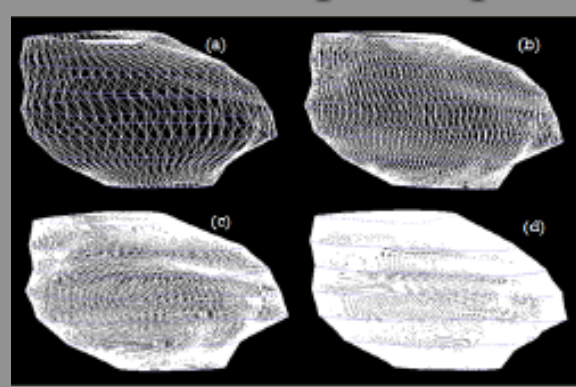
Pré-symptomatique

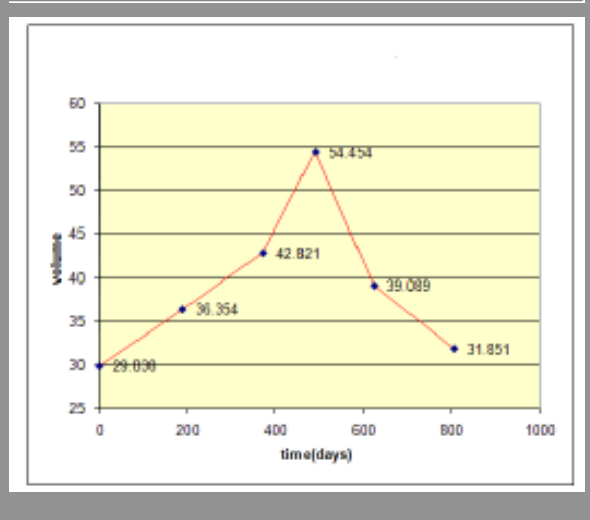


Patient suivi puis opéré

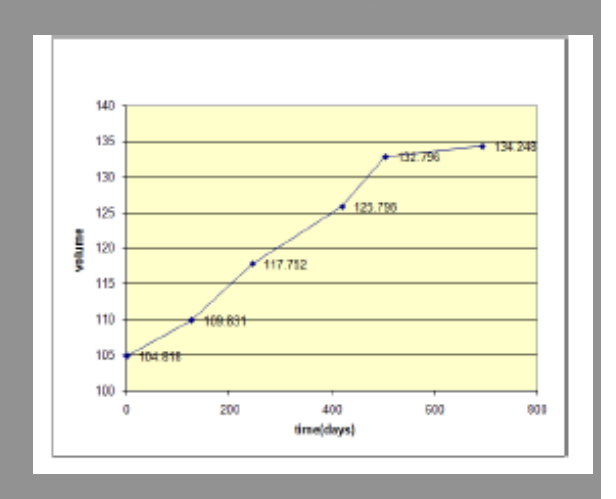
Patient non traité







Patient suivi puis chimiothérapie



Evolution of brain tumor and stability of geometric invariants K. Tawbe, F. Cotton and L. Vuillon; Unt J Telemed Appl 2008

Les gliomes de bas grade (sauf le grade I) évoluent tous vers l'anaplasie.

La pente de croissance est en moyenne de 4 mm par an ¹ [entre 1-2 mm et 12-14 mm par an].

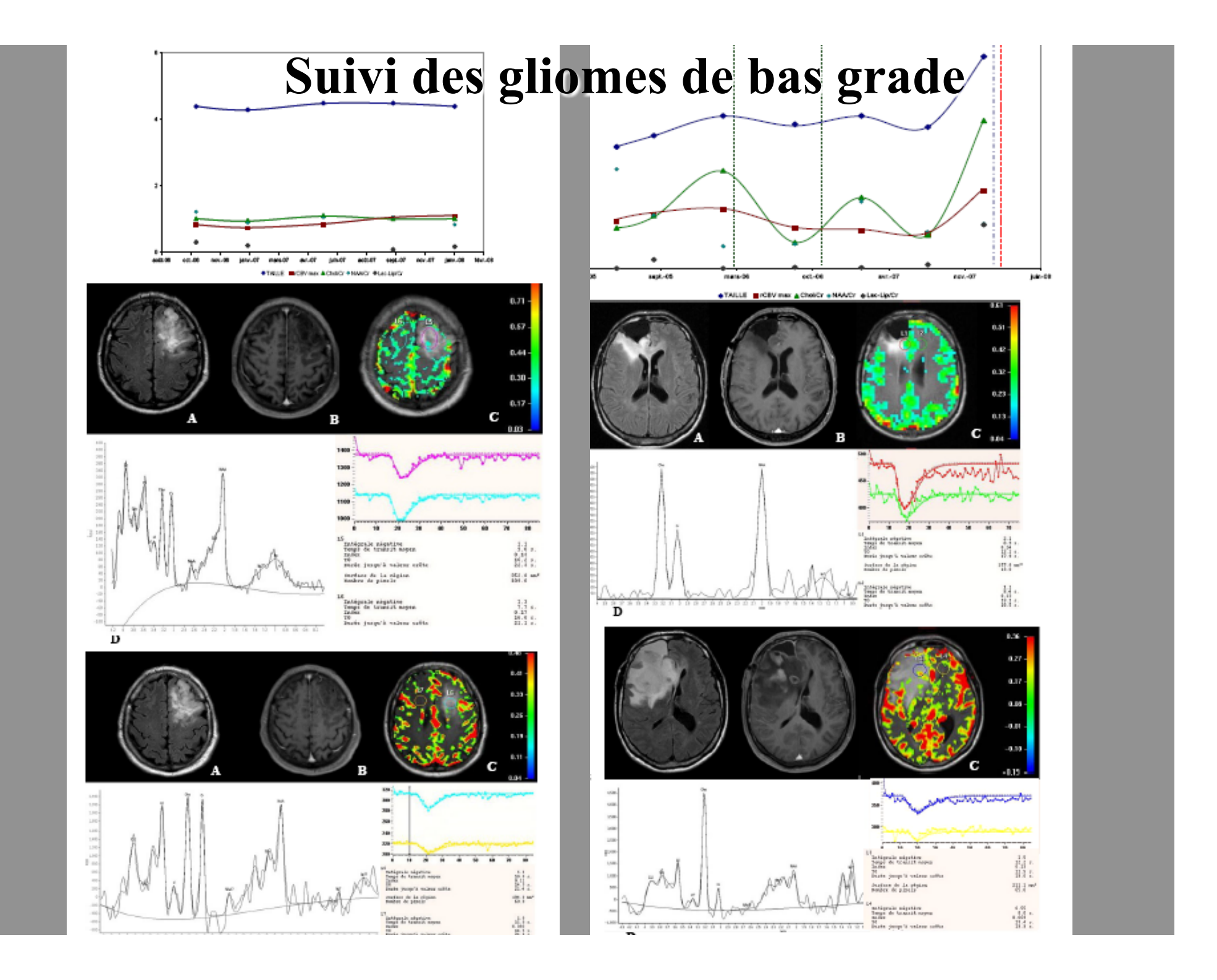
Plus la pente est importante, plus les lésions évoluent rapidement vers l'anaplasie.

Le ratio choline/créatine est corrélé à la pente tumorale.

¹ Mandonnet et al, continuous growth of mean tumor diameter in a subset of grade II gliomas; Annal neuro 2003

Valeur prédictive du virage: association ratio choline/créatine et codélétion 1p19q

Patients	Ratio Chol/Cr >2,4	Absence de Co-deletion 1p-19q	Virage
1	1	1	1
2	1	1	1
3	1	1	1
4	1	1	1
5	0	1	0
6	0	1	0
7	1	0	0
8	0	0	0
9	0	0	0
10	0	0	0
11	0	0	0
12	0	0	0
13	0	0	0
14	0	0	0



Quand suivre ces gliomes

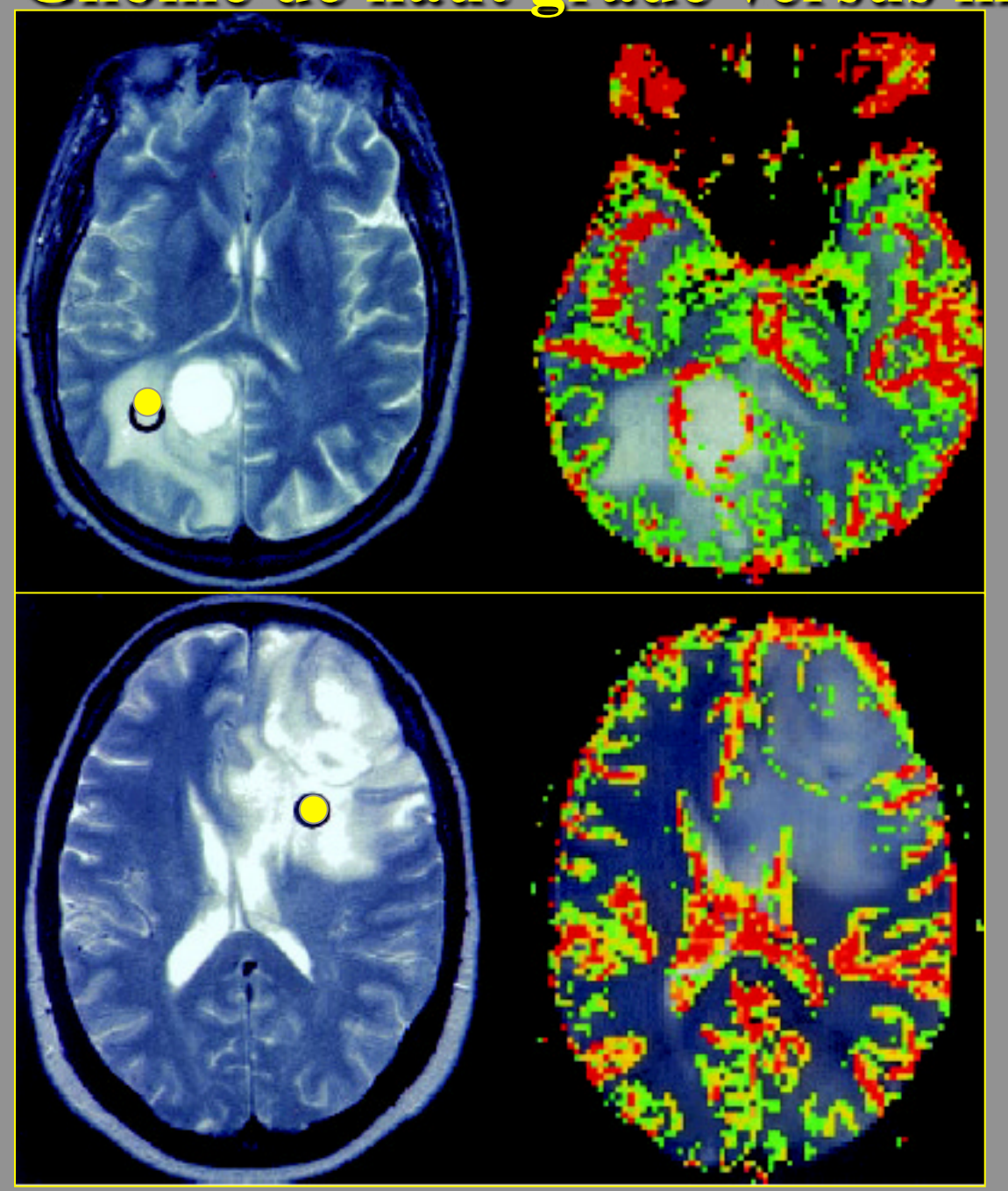
- 1- IRM annuelle pour les astrocytomes pilocytiques
- 2- IRM au moins tous les 6 mois recommandée

3- IRM rapprochée si apparition d'une prise de contraste, modification de la perfusion ou augmentation du ratio choline/créatine supérieur à 2 alors surveillance rapprochée tous les 3 mois

II- APPLICATIONS EN NEUROONCOLOGIE

- 2- Diagnostic différentiel entre gliomes de haut grade et lésions présentant une rupture de la BHE
- ⇒ Métastases
- ⇒ Lymphomes
- ⇒ Forme pseudo-tumorale de SEP (vu ce matin)

Gliome de haut grade versus métastase



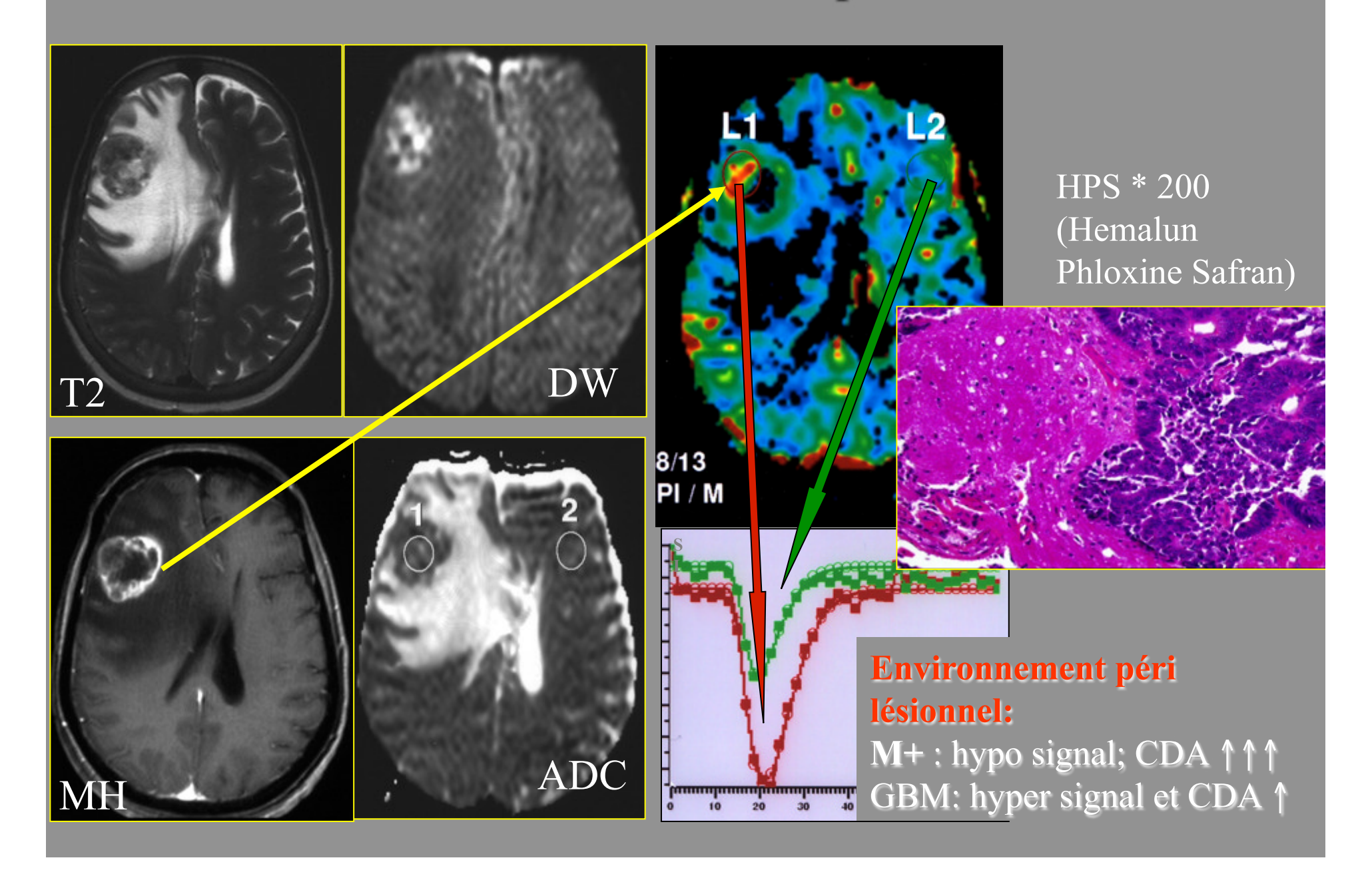
GBM

rCBV = 2.34

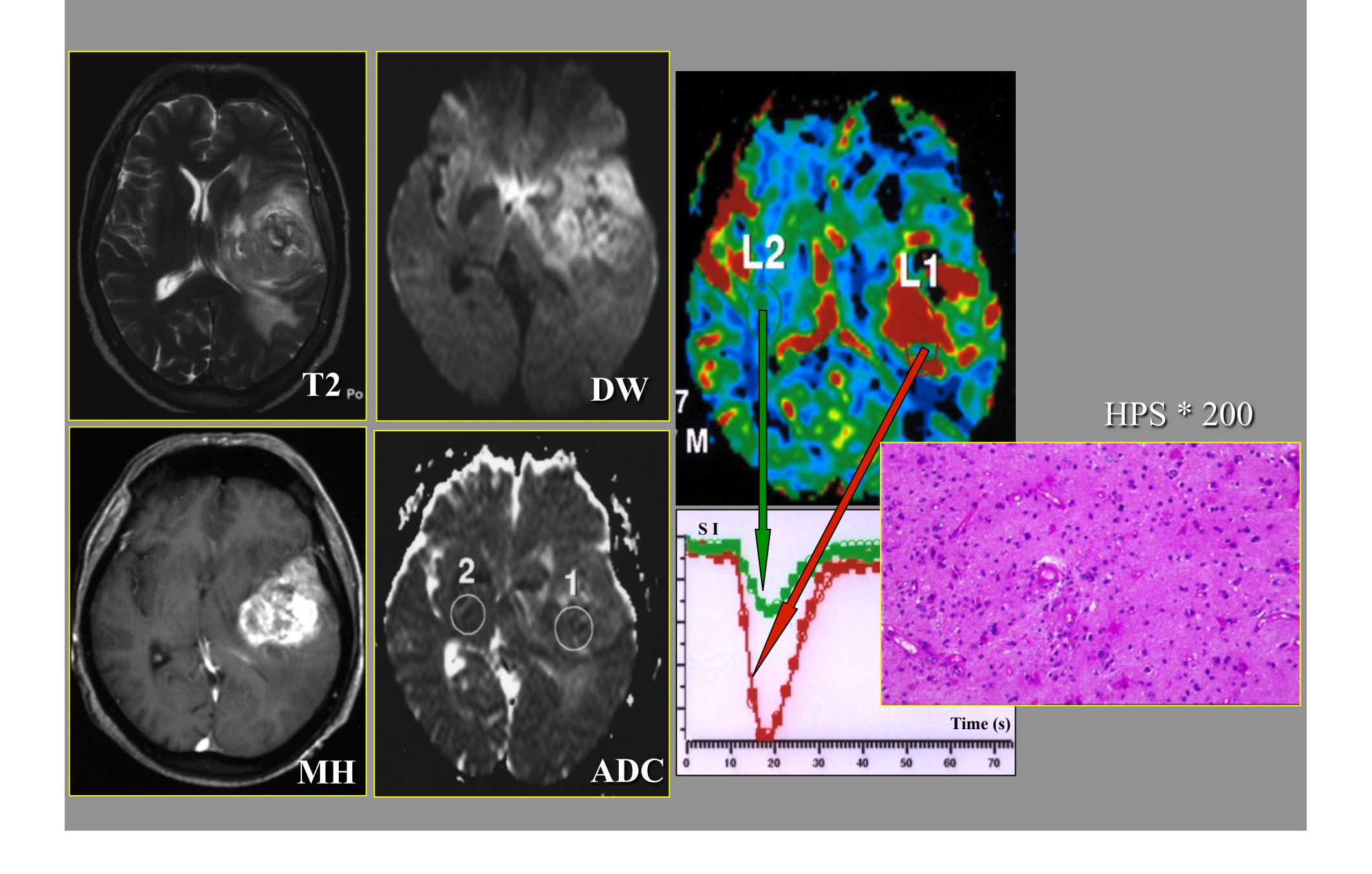
Métastase d'un Carcinome pulmonaire

rCBV = 0.39

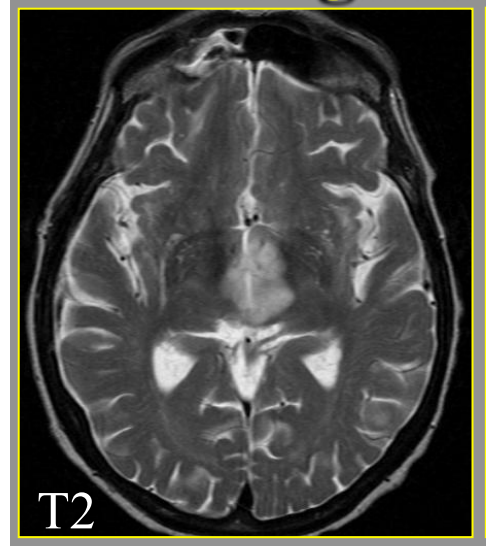
Métastase d'un carcinome épidermoïde

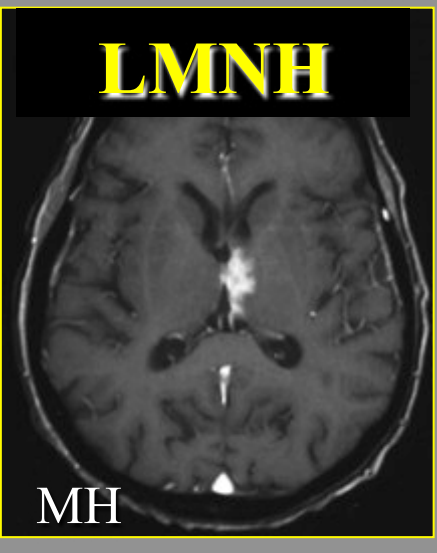


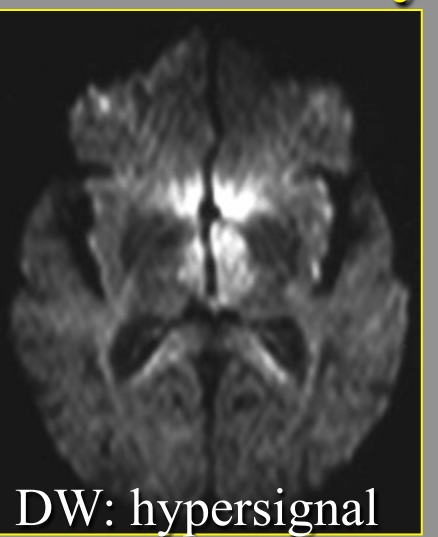
Glioblastome



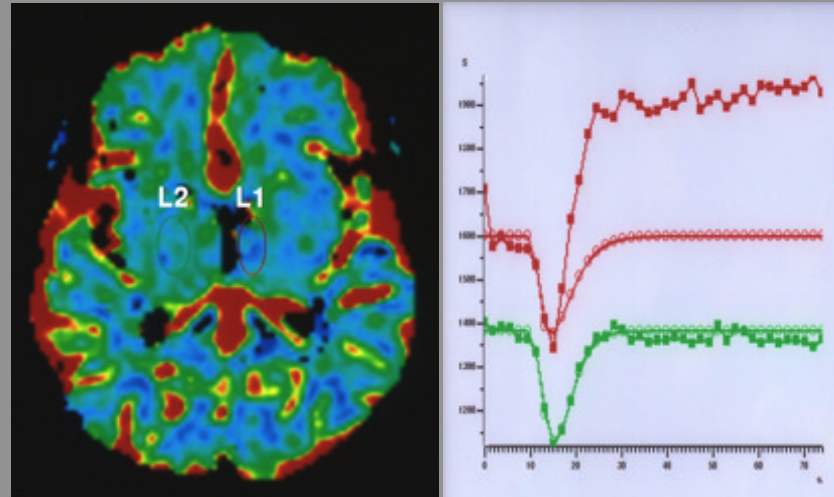
Diagnostic différentiel avec les lymphomes





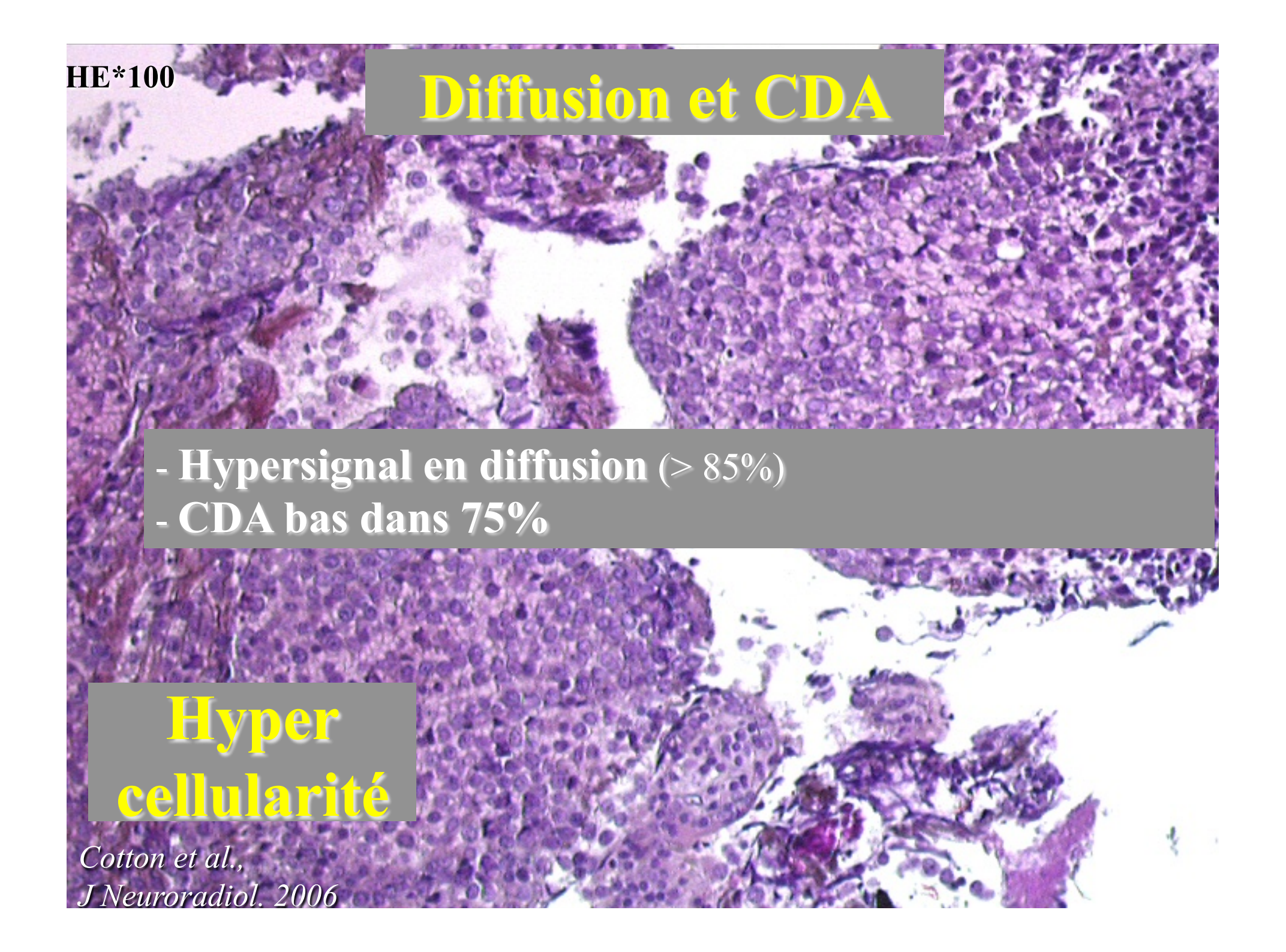


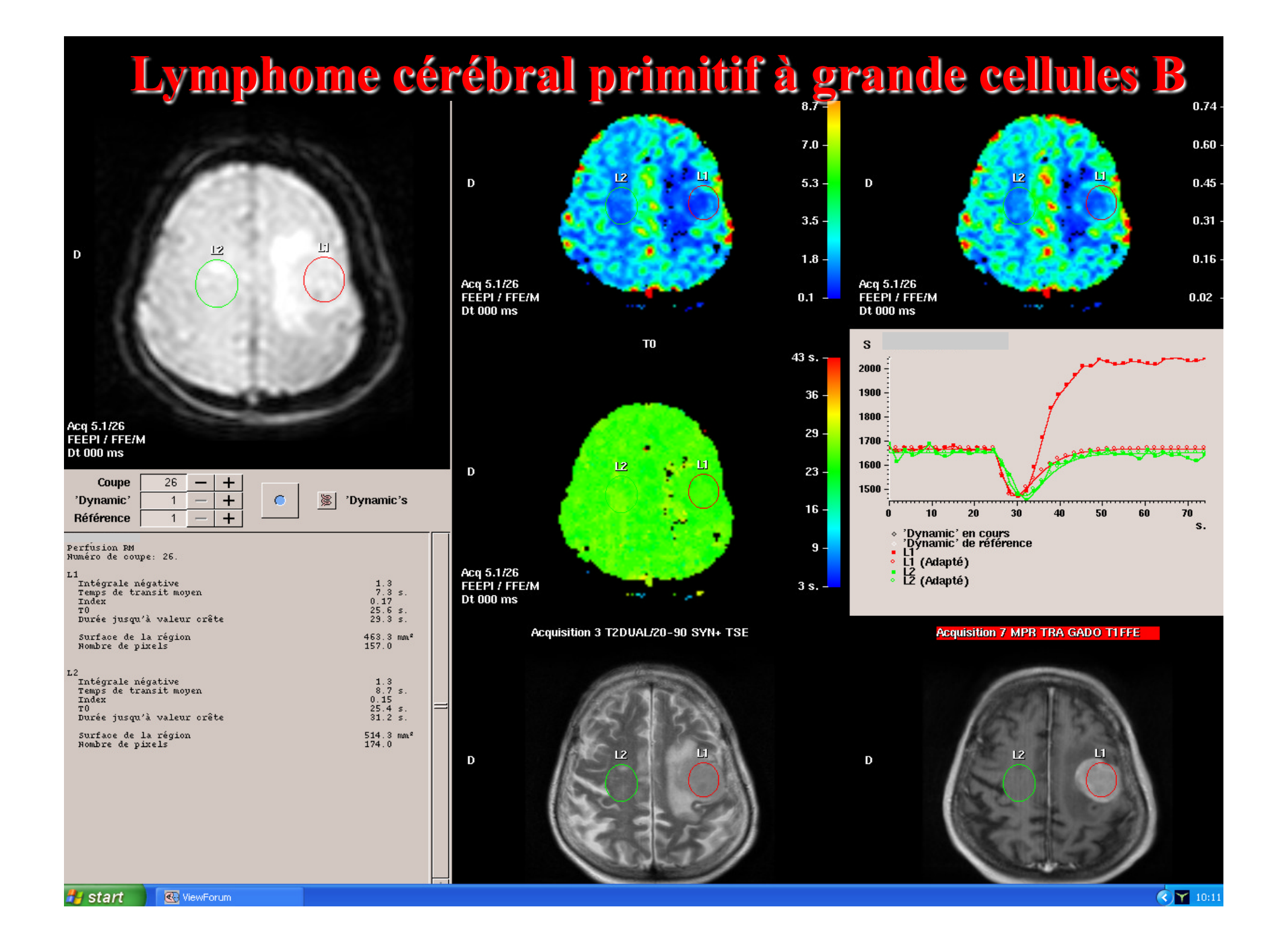
1 rCBV bas $(1,43 \pm 0,64)$ malgré la rupture de la BHE

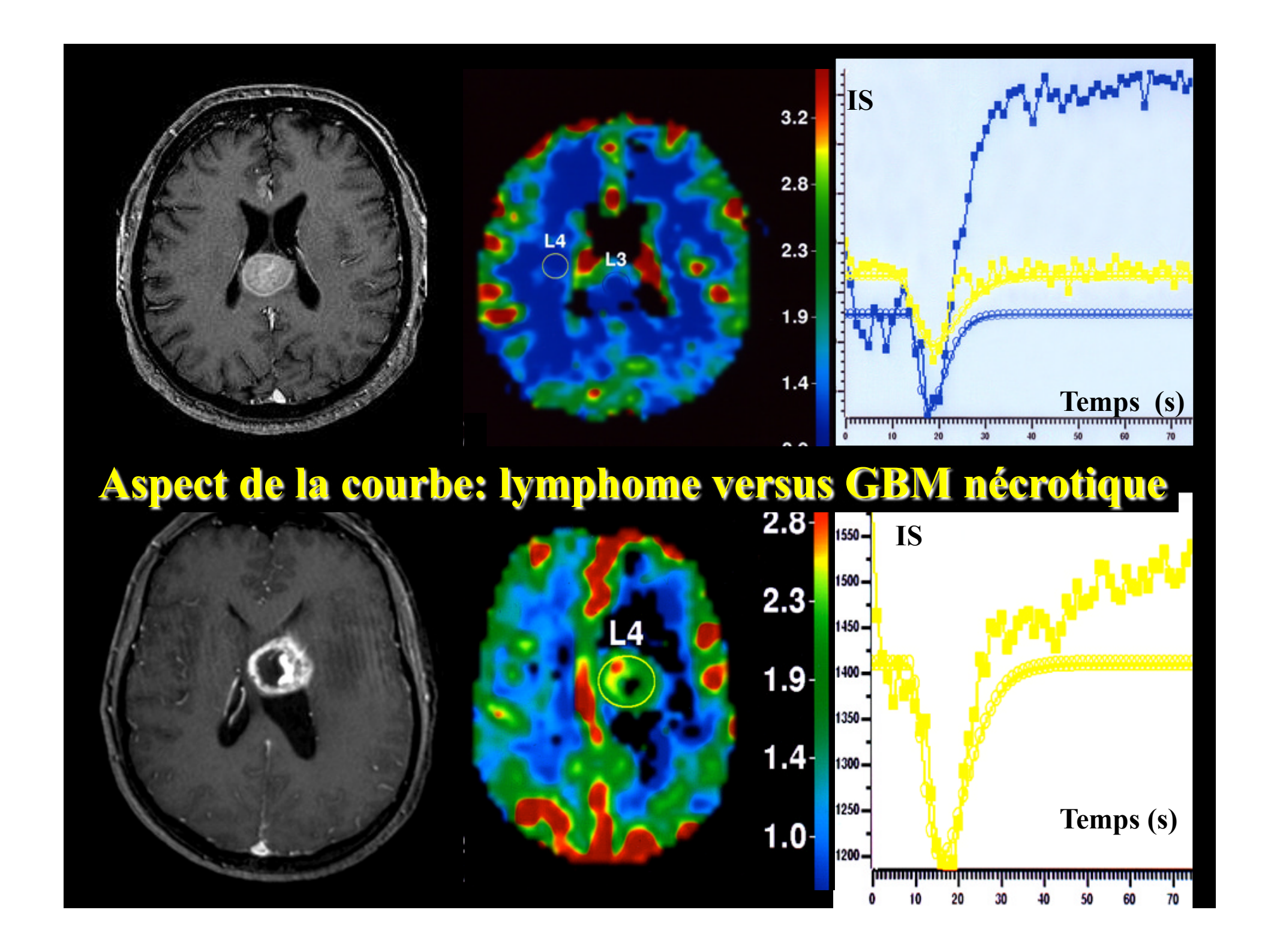


o a

2 Courbe: remontée au-dessus de la ligne de base > 30% de l'intensité du signal avant un plateau (10 s)







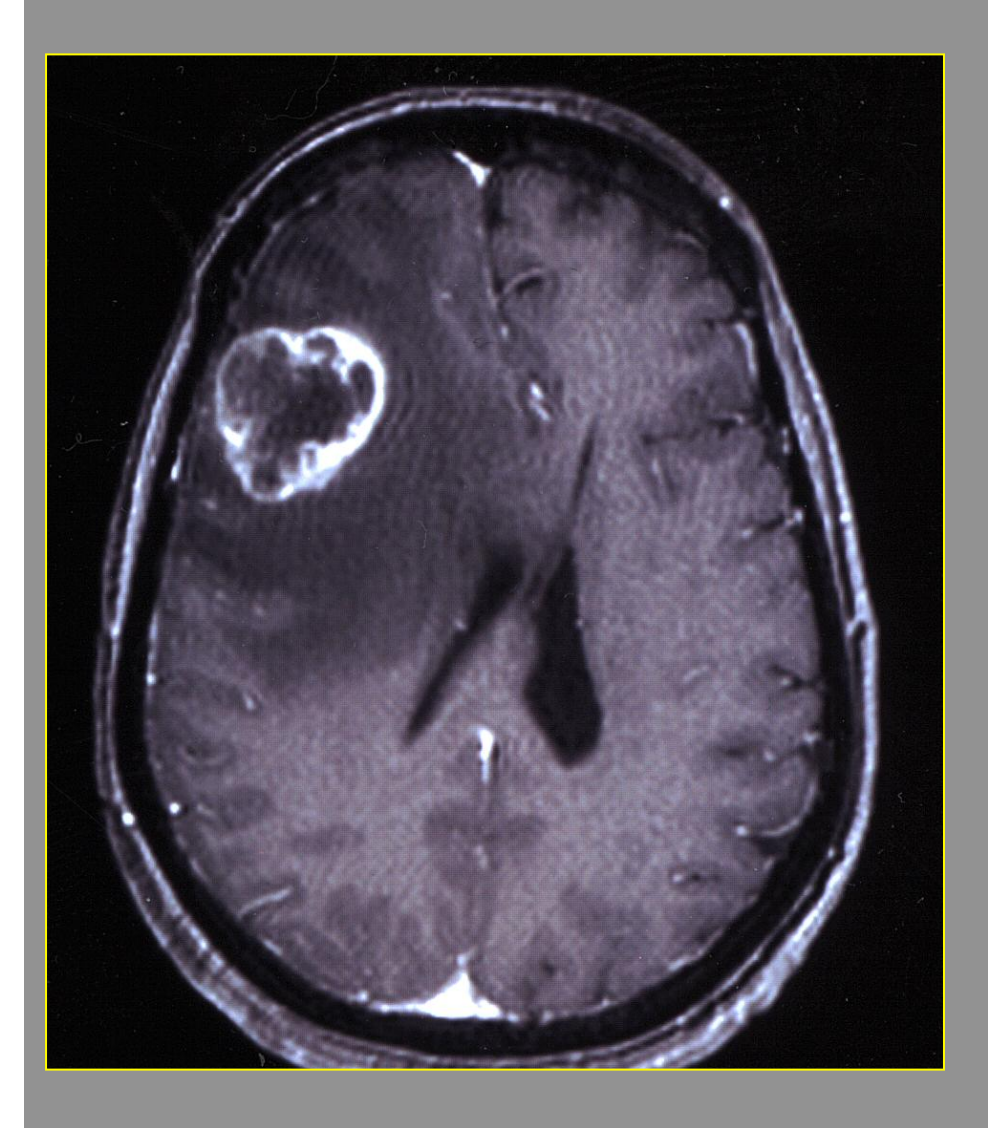
Le profil spectroscopique des lymphomes est parfois similaire aux métastases (pas de NAA, choline elevée, pic de lactate). L'importance du pic de lipide est néanmoins très évocateur de métastase.

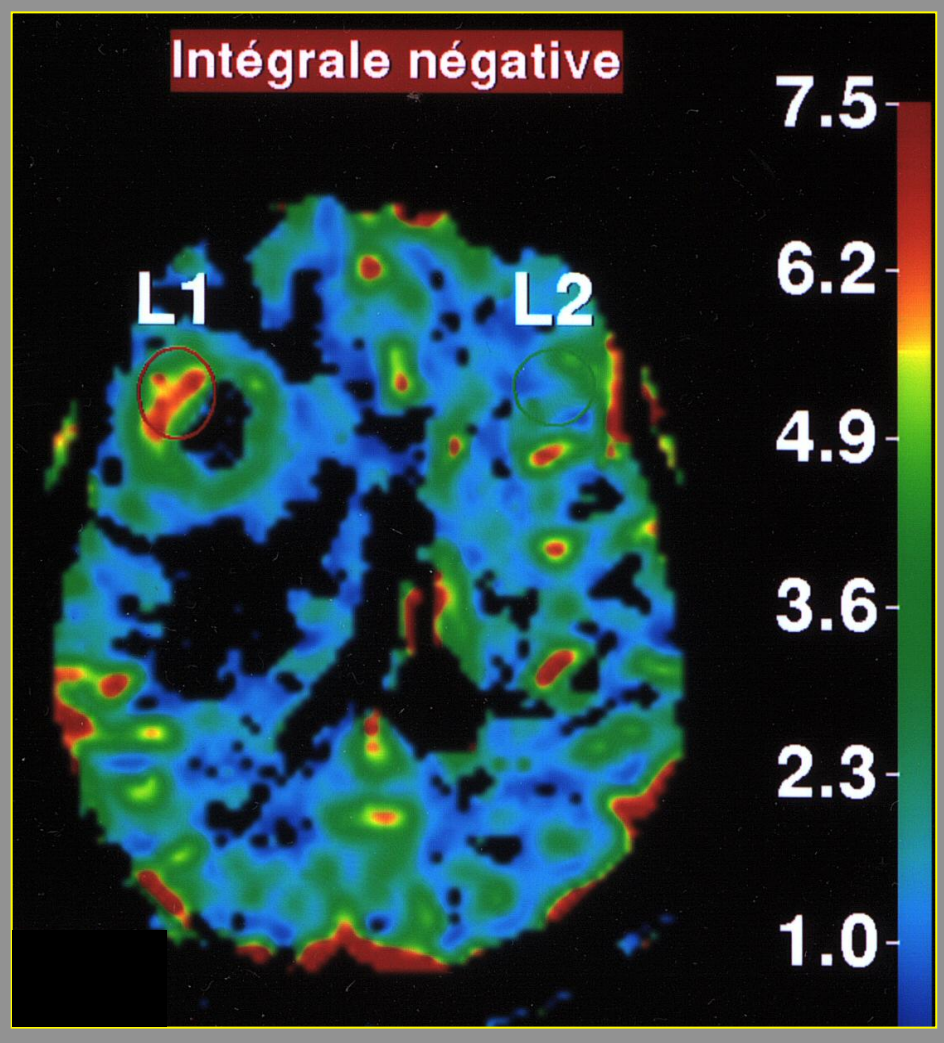
Les données de la perfusion permettent de trancher: valeurs du rCBV augmentées dans les métastases et normales dans le lymphome.

II- APPLICATIONS EN NEUROONCOLOGIE

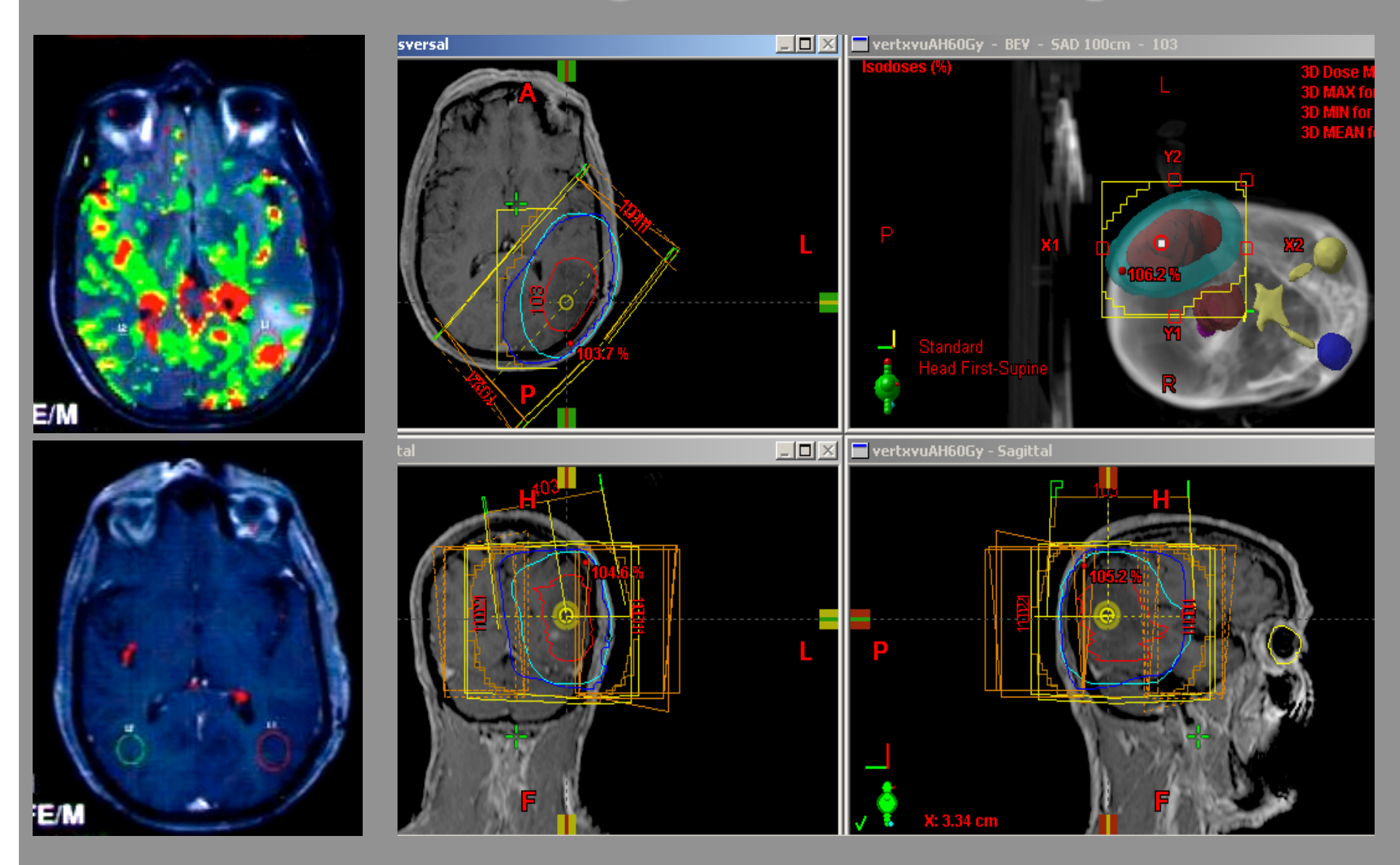
3- Ciblage, intérêt potentiel de la perfusion et spectroscopie

Ciblage





« Ciblage » en radiothérapie



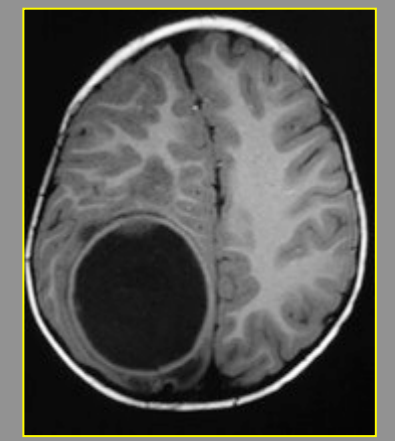
Mémoire du DIU de neuro-oncologie, Dr A D'Hombres

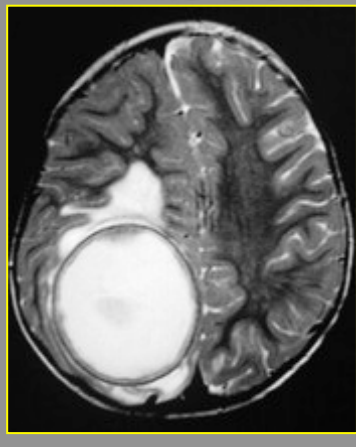
II- APPLICATIONS EN NEUROONCOLOGIE

4- Suivi

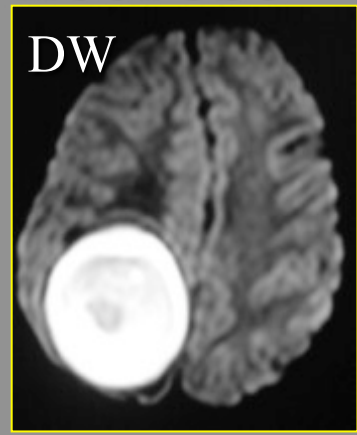
- Nécrose versus abcès, infection
- Récidive versus radionécrose
- Transformation des gliomes de bas grade

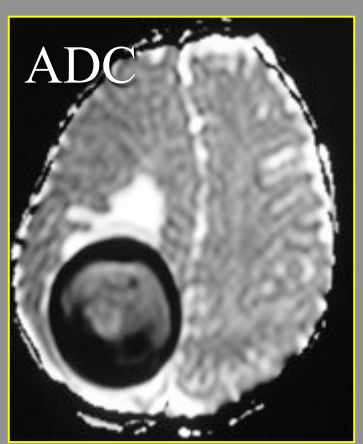
Abcès versus nécrose

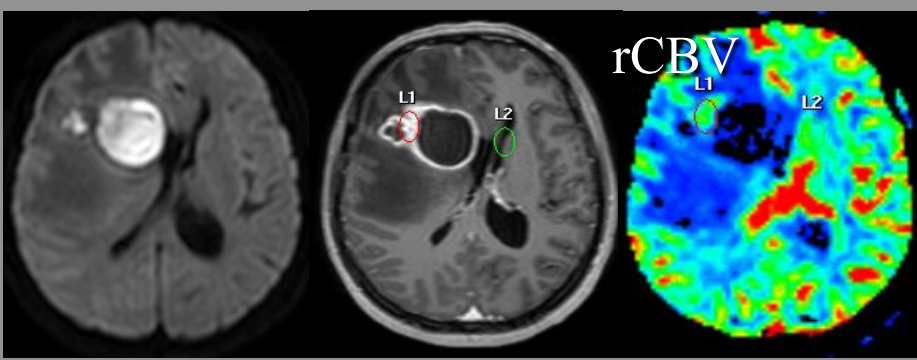


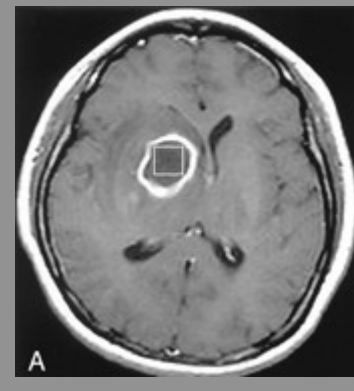


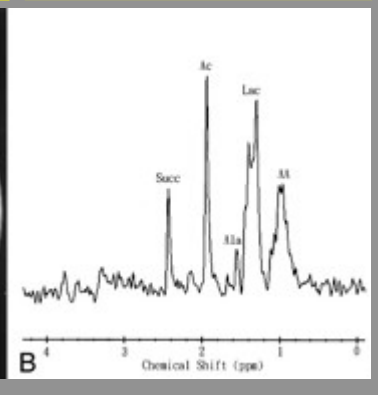
Abcès

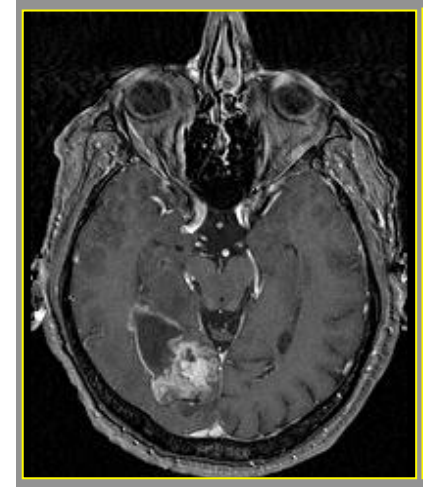






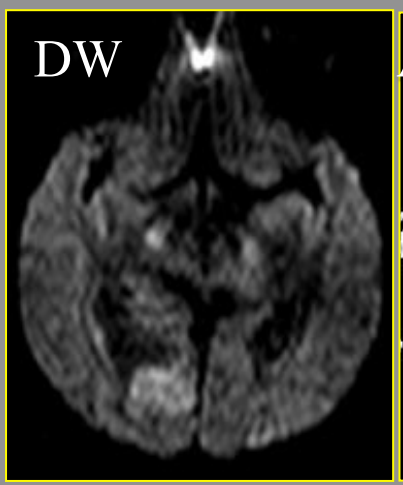


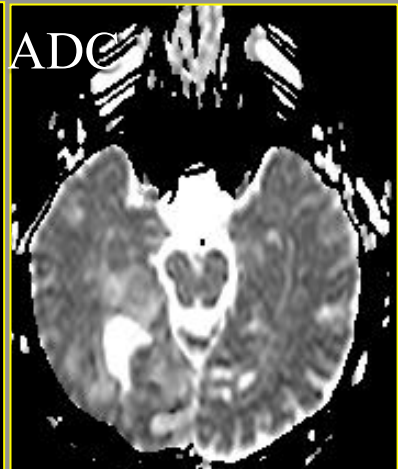




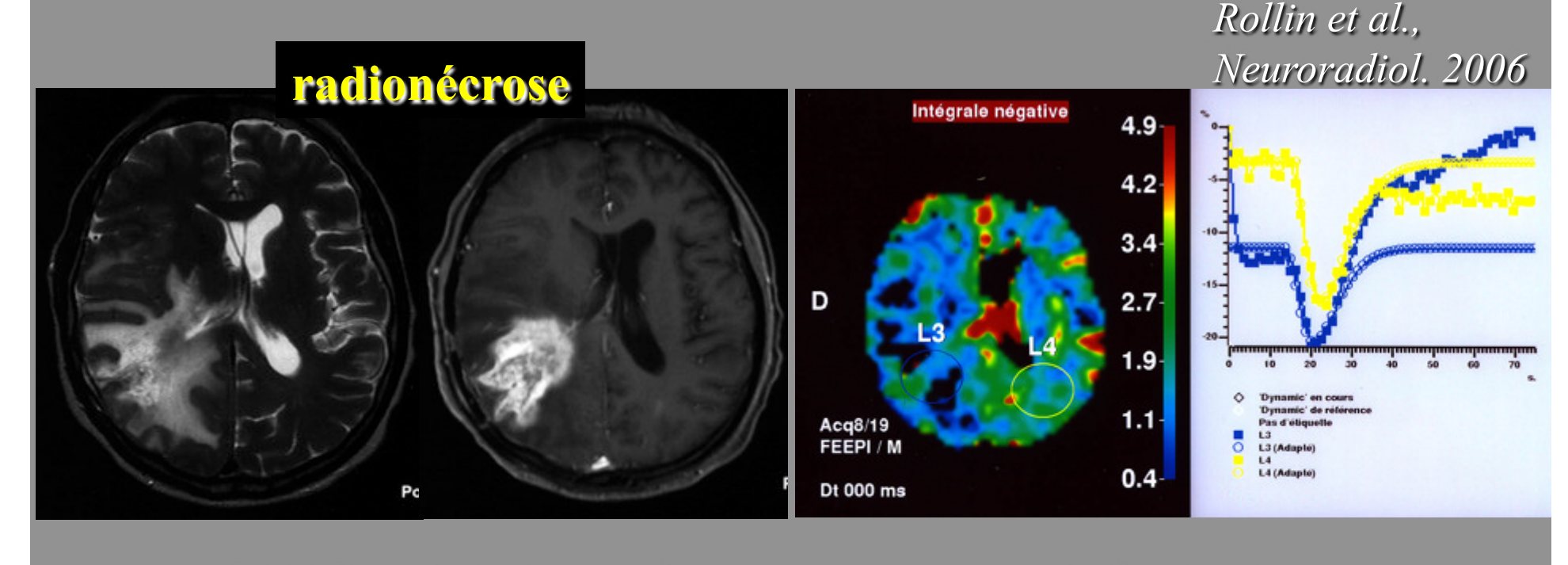


Nécrose tumorale

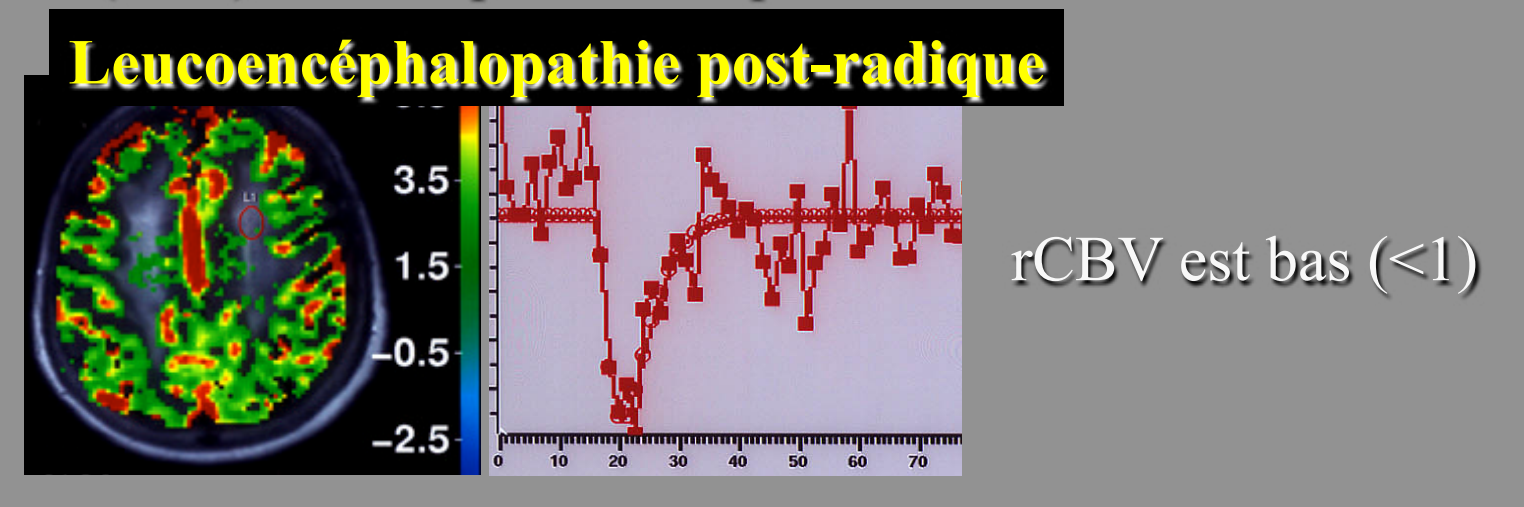




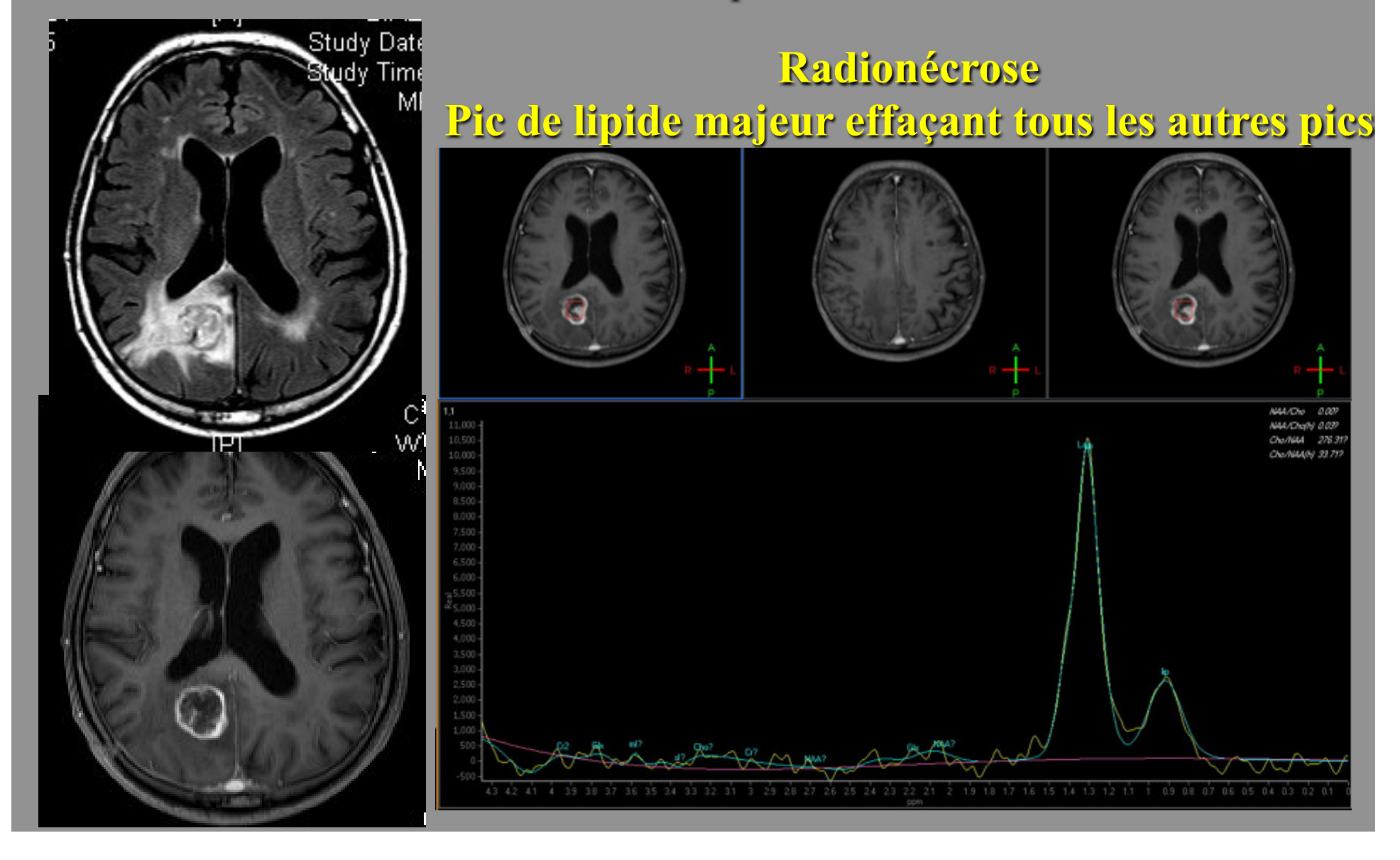
Complications de la radiothérapie



- rCBV bas (<1.5) avec importante rupture de la BHE

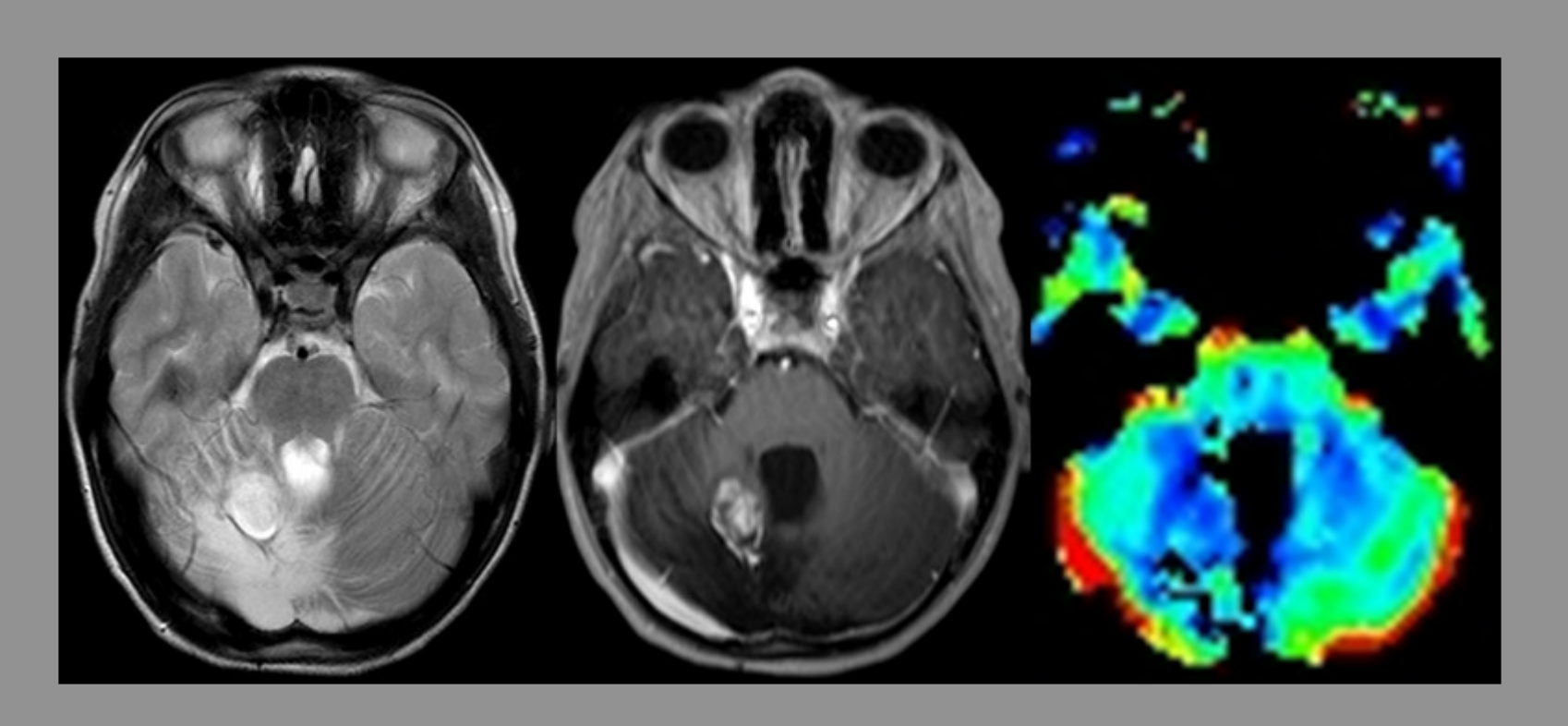


Homme de 62 ans, traité par radiochimiothérapie (Temodal) pour un gliome anaplasique. Réapparition d'une lésion nécrotique faisant craindre une récidive. Bilan IRM complémentaire?



IV- Cas particuliers

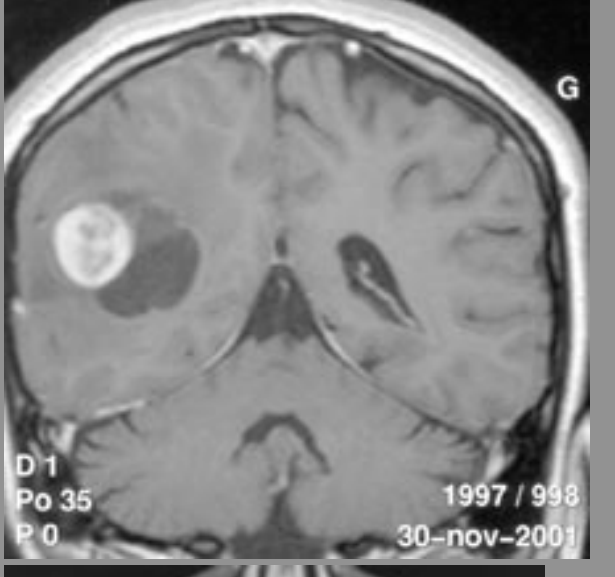
Astrocytome pilocytique, Grade 1

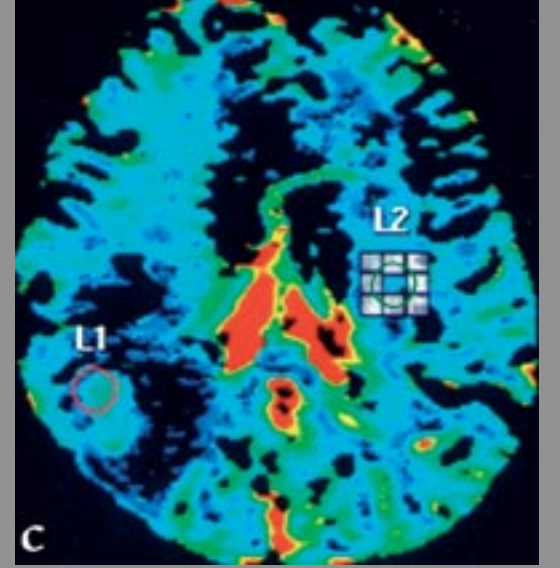


lésion volontiers nodulokystique PC nodulaire habituelle

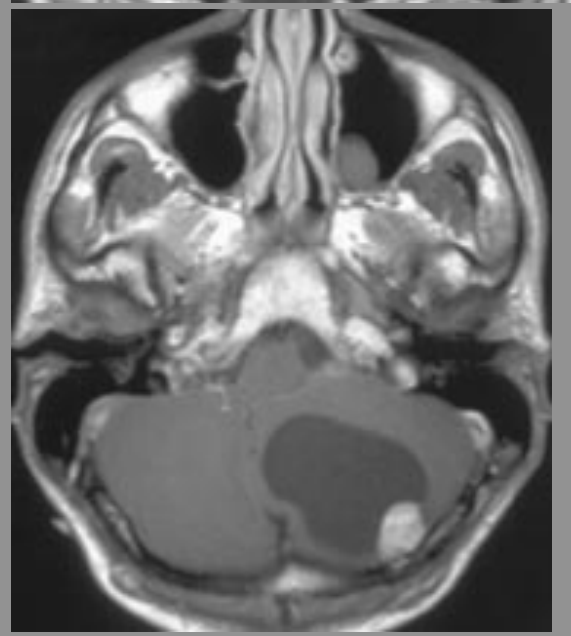
Lésions kystiques avec nodule mural

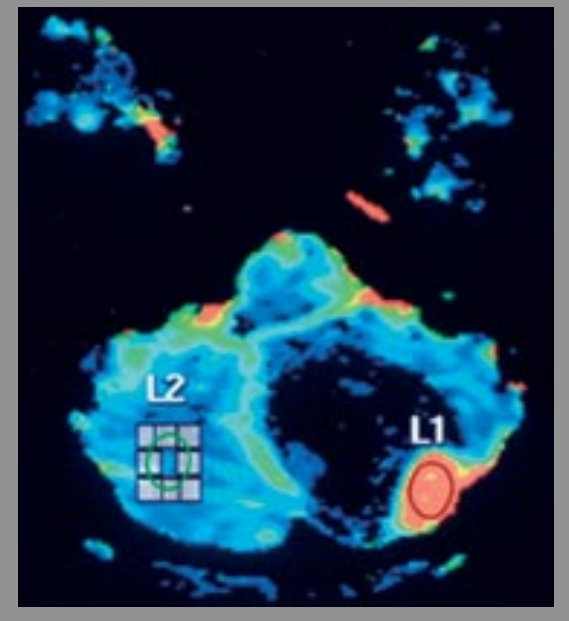
Hémangioblastome ou astrocytome pilocytique





rCBV normal:
Astrocytome
pilocytique

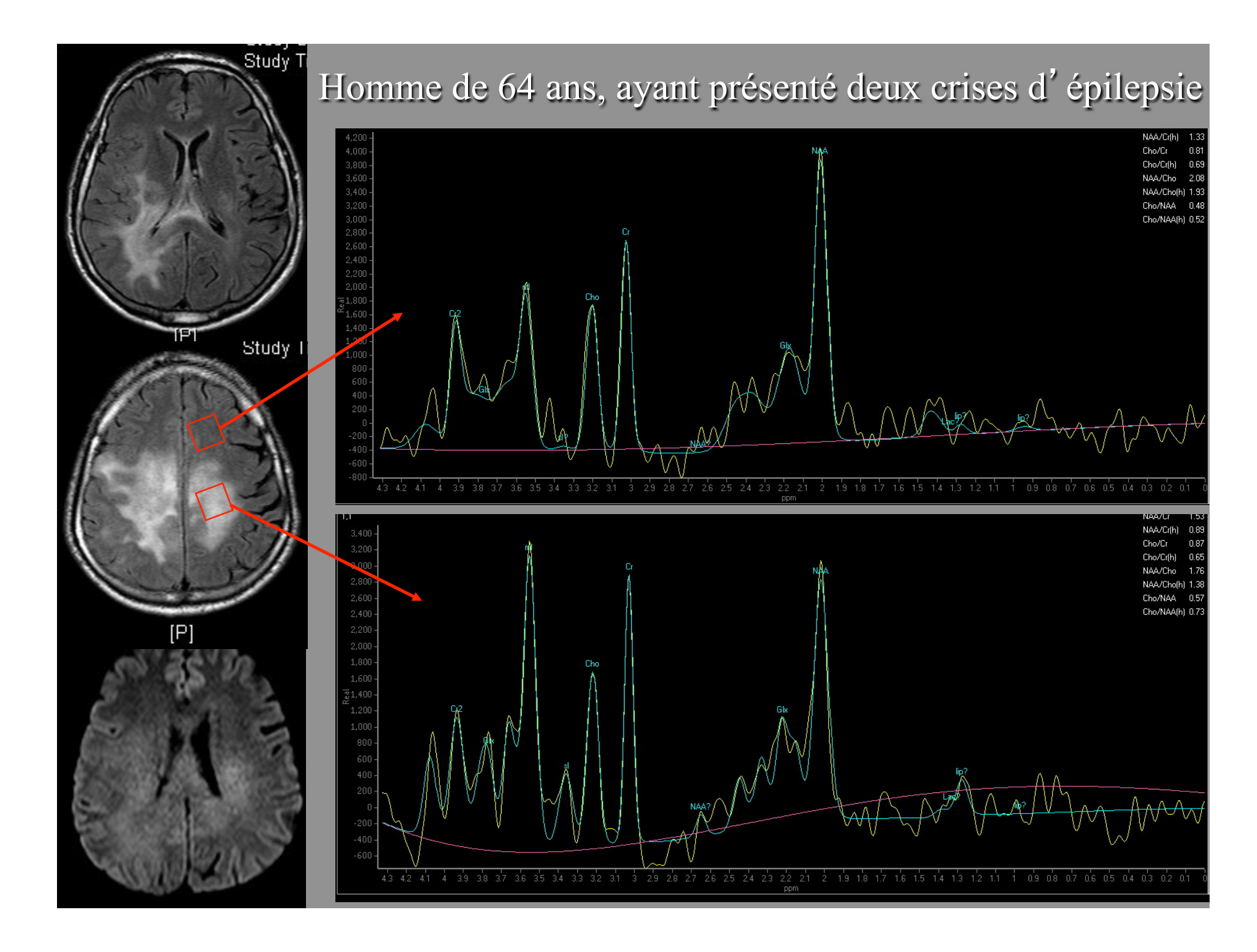


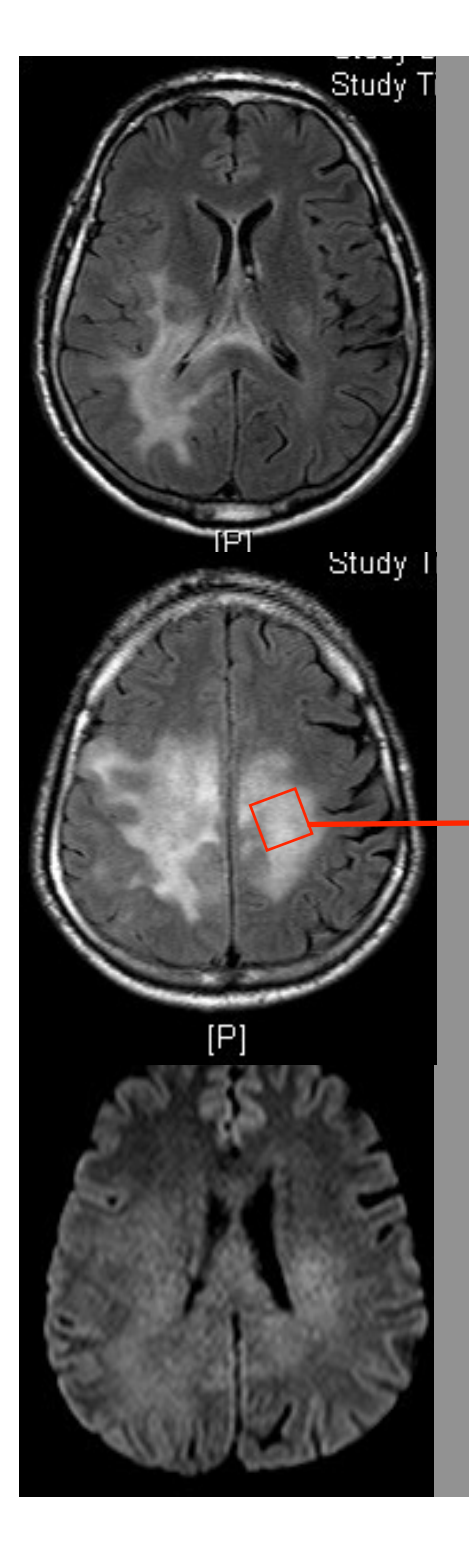


rCBV augmenté: Hémangioblastome

Equipe Grenoble

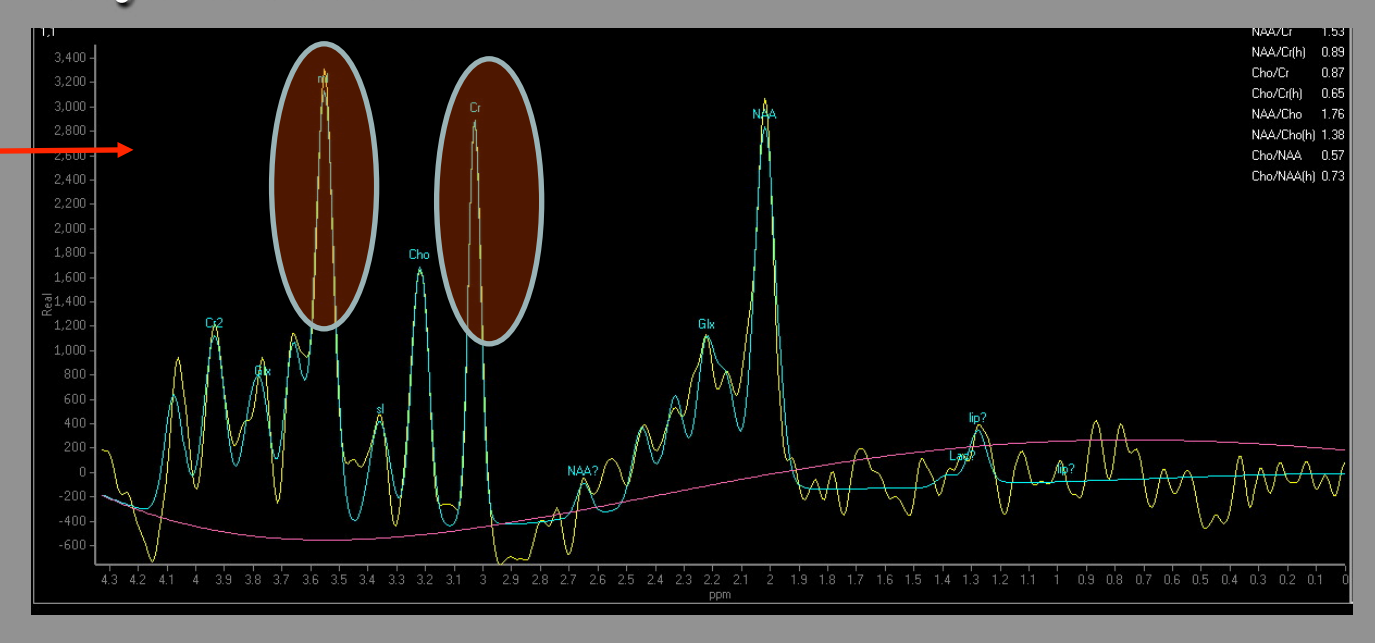
JF Le Bas, S. Grand J de radiologie 2006





GLIOMATOSE

La spectroscopie apparaît supérieure à la perfusion pour évaluer la gliomatose : faux abaissement de la choline par élévation de la créatine, élévation importante du myoinositol.



L'élévation de la choline est corrélée au grade et inversement proportionnelle à la survie.

Quelques messages

- 1- L' imagerie multimodale apporte des éléments déterminants pour la caractérisation des gliomes.
- 2- L' interprétation de l' imagerie doit tenir compte de l'évolution naturelle de ces lésions.
- 3- Un patient présentant un gliome avec dans la lésion une élévation du ratio choline/créatine supérieur à 2 et un rCBV supérieur à 2 par rapport au côté sain a un risque élevé de présenter un virage anaplasique dans les 2 ans suivants.
- 4- Le diagnostic parfois difficile entre métastase, lymphome et gliome de haut grade se fait par l'analyse du couple perfusion/spectroscopie
- 5- le diagnostic différentiel entre astrocytome pilocytique et hémangioblastome est basé sur les données de la perfusion

Journée de la SFR-RA du samedi 24 mars 2012

Je vous remercie

